

Formelsammlung - ET/TI

Marc Ludwig

23. Oktober 2011

Inhaltsverzeichnis

I	Mathematik	5
1	Algebra	6
1.1	Rechenregeln fuer Potenzen	6
1.2	Zusammenhang zwischen Wurzeln und Potenzen	6
1.3	Potenzen und Logarithmen	7
1.3.1	Der natuerliche Logarithmus	7
1.3.2	Rechnen mit Logarithmen	7
1.4	Der Binomische Lehrsatz	7
1.5	Sinus, Kosinus, Tangens und Kotangens	8
1.5.1	Beziehungen zwischen Sinus, Kosinus, Tangens und Kotangens	8
1.5.2	Additionstheoreme	8
1.5.3	Funktionen des doppelten und halben Winkels	9
1.5.4	Umformungen	9
1.6	Komplexe Zahlen	10
1.6.1	Umrechnungen zwischen den Darstellungsformen	10
1.6.2	Rechnen mit Komplexen Zahlen	11
2	Funktionen	12
2.1	Gleichungen	12
2.1.1	Gleichungen n -ten Grades	12
2.1.2	Lineare Gleichungen	12
2.1.3	Quadratische Gleichungen	13
2.1.4	Biquadratische Gleichungen	13
2.1.5	Gleichungen höheren Grades	13
2.1.6	Wurzelgleichung	13
2.1.7	Ungleichungen	14
2.1.8	Betragsgleichungen	14
3	Vektorrechnung	15
3.1	Vektorrechnung	15
3.1.1	Grundlagen	15

3.1.2	Vektoroperationen	16
3.1.3	Geraden	17
3.1.4	Ebenen	17
4	Differentialrechnung	19
4.1	Differntialrechnung	19
4.1.1	Erste Ableitungen der elementaren Funktionen	19
4.1.2	Rechenregeln	20
4.1.3	Fehlerrechnung	20
4.1.4	Linearisierung und Taylor-Polynom	21
4.1.5	Grenzwertregel von Bernoulli und de l'Hospital	22
4.1.6	Differentielle Kurvenuntersuchung	22
4.2	Differentialgleichungen	24
4.2.1	DG 1. Ordnung	24
4.2.2	Lineare DG 2. Ordnung	24
4.3	Differential- und Integralrechnung mit mehreren Variablen	26
4.3.1	Differentialrechnung	26
4.3.2	Mehrfachintegral	27
5	Folgen und Reihen	29
5.1	Reihen	29
5.1.1	Geometrische Folge	29
5.1.2	Harmonische Reihe	29
5.1.3	Konvergenz	30
5.1.4	Bekannte konvergente Reihen	30
5.2	Funktionenreihen	31
5.2.1	Potenzreihen	31
5.2.2	Bekannte Potenzreihen	31
5.2.3	spezielle Reihen	32
5.2.4	Fourier Reihen	32
6	Interpolation	34
6.1	Interpolationspolynome	34
II	Physik	36
7	Kinematik	37
7.1	Analogietabelle	37
7.1.1	Translation	38
7.1.2	Rotation	38
7.2	Dynamik	39
7.2.1	Geradlinig (Translation)	39

7.2.2	Drehbewegung(Rotation)	39
7.2.3	Geneigte Ebene	40
7.2.4	Reibung	40
7.2.5	Feder	40
7.2.6	Elastischer Stoss	41
7.2.7	Unelastischer Stoss	41
7.2.8	Rotierendes Bezugssystem	42
7.3	Schwerpunkt	43
7.4	Trägheitsmoment	44
7.5	Elastizitätslehre	45
7.6	Schwingungen	46
7.6.1	Ungedämpfte Schwingungen	46
7.6.2	Gedämpfte Schwingungen	47
8	Fluiddynamik	49
8.1	Ohne Reibung	49
8.2	Laminare Reibung	50
9	Gravitation	51
10	Elektrostatik	52
11	Thermodynamik	54
11.1	Wärmedehnung	54
11.2	Wärme	54
11.3	Mischtemperatur	54
11.4	Wärmeleitung	54
11.5	Wärmekonvektion	54
11.6	Wärmewiderstand	55
11.6.1	Wärmeübertragung	55
11.6.2	Wärmestrahlung	55
11.6.3	Zustandsänderung des idealen Gases	55
12	Optik	57
12.1	Brechung	57
12.2	Totalreflexion	57
12.3	Hohlspiegel	57
12.4	Linse	58
12.5	Lichtwellenleiter	59

III	Elektrotechnik	60
13	Gleichstromtechnik	61
13.1	Grundgrößen	61
13.2	Lineare Quellen	62
13.3	Kirchhoffsche Gesetze	62
14	Wechselstromtechnik	63
14.1	Anteile und Formfaktoren	64
14.2	Leistung und Leistungsfaktoren	64
14.2.1	Wirkleistung	64
14.2.2	Mittlere Leistung	64
14.2.3	Scheinleistung	64
14.2.4	Leistungsfaktor	64
14.3	Sinusförmige Größen	65
14.3.1	Sinusschwingung	65
14.3.2	Kosinusschwingung	65
14.3.3	Nullphasenzeit	65
14.3.4	Addition zweier Sinusgrößen gleicher Frequenz	65
14.3.5	Wechsel zwischen Sinus und Kosinus	66
14.3.6	Differentiation und Integration von Sinusgrößen	68
14.3.7	R, L und C im kompl. Zeigerbereich	68
14.3.8	Widerstands und Leitwertoperator	68
14.3.9	Resultierende Operatoren	69
14.3.10	Anteile am komplexen Widerstand (Impedanz)	69
14.3.11	Anteile am komplexen Leiwert (Admitanz)	69
14.3.12	komplexer Widerstand / komplexer Leitwert	69
14.3.13	Momentanleistung / Augenblicksleistung	70
14.3.14	Blindleistung	70
14.3.15	Mittlere Leistung / Wirkleistung	70
14.3.16	Definition von Blind- und Scheinleistung	70
14.3.17	Beziehungen zwischen Wirk- Blind- und Scheinleistung	71
14.3.18	Die komplexe Leistung	71
15	Signal- und Sytemtheorie	72
15.1	Einfache Impulse	72
15.1.1	Rechteckimpuls/ -funktion $rect_T(t)$	72
15.1.2	Dreiecksimpuls/ -funktion $\Lambda_T(t)$	72
15.2	Elementare Operationen auf zeitliche Verläufe	73
15.2.1	Beeinflußung der Ordinate	73
15.2.2	Beeinflußung der Abszisse	73

Teil I

Mathematik

Kapitel 1

Algebra

Why waste time learning
when ignorance is instantaneous?
- Hobbes

1.1 Rechenregeln fuer Potenzen

$$\begin{array}{lll} a^m \cdot a^n = a^{m+n} & \frac{a^m}{a^n} = a^{m-n} & (a^m)^n = (a^n)^m = a^{m \cdot n} \\ a^n \cdot b^n = (a \cdot b)^n & \frac{a^n}{b^n} = \left(\frac{a}{b}\right)^n & (\text{fuer } a > 0) \ a^b = e^{b \cdot \ln a} \end{array}$$

1.2 Zusammenhang zwischen Wurzeln und Potenzen

Im Folgenden wird vorausgesetzt, dass alle Potenzen und Wurzeln existieren.

$$\sqrt[n]{a} = a^{\frac{1}{n}} \qquad \sqrt[n]{a^m} = a^{\frac{m}{n}} \qquad \left(\sqrt[n]{a}\right)^m = a^{\frac{m}{n}}$$

1.3 Potenzen und Logarithmen

Schreibweise: $x = \log_a(b)$ mit $a > 0, a \neq 1$ und $b > 0$.

Es gilt: $\log_a(1) = 0$, $\log_a(a) = 1$.

1.3.1 Der natuerliche Logarithmus

Der Logarithmus zur Basis e mit $e = \lim_{n \rightarrow \infty} \left(1 + \frac{1}{n}\right)^n = 2,71828\dots$

$$\log_e(b) = \ln(b) \qquad \ln\left(\frac{1}{e}\right) = -1; \text{ da } e^{-1} = \frac{1}{e}$$

Man beachte: $x^a = e^{\ln(x) \cdot a}$

1.3.2 Rechnen mit Logarithmen

Es gilt:	Weitere Beziehungen:
$\log_a(u \cdot v) = \log_a(u) + \log_a(v)$	$\log_a(\sqrt[n]{u}) = \frac{1}{n} \log_a(u)$
$\log_a\left(\frac{u}{v}\right) = \log_a(u) - \log_a(v)$	$a^{\log_a(u)} = \log_a(a^u) = u$
$\log_a(u^p) = p \cdot \log_a(u)$	$\log_a(u) = \frac{\log_c(u)}{\log_c(a)}$

1.4 Der Binomische Lehrsatz

Die Potenzen eines Binoms $a+b$ lassen sich nach dem Binomischen Lehrsatz wie folgt entwickeln ($n \in \mathbb{N}^*$):

$$(a+b)^n = a^n + \binom{n}{1}a^{n-1} \cdot b^1 + \binom{n}{2}a^{n-2} \cdot b^2 + \binom{n}{3}a^{n-3} \cdot b^3 + \dots + \binom{n}{n-1}a^1 \cdot b^{n-1} + b^n$$

Die Koeffizienten $\binom{n}{k}$ heißen Binominalkoeffizienten, ihr Bildungsgesetz lautet:

$$\binom{n}{k} = \frac{n(n-1)(n-2)\dots[n-(k-1)]}{k!} = \frac{n!}{k!(n-k)!}$$

Einige Eigenschaften der Binominalkoeffizienten

$$\begin{aligned} \binom{n}{0} = \binom{n}{n} = 1 & \quad \binom{n}{k} = 0 \text{ fuer } k > n & \quad \binom{n}{1} = \binom{n}{n-1} = n \\ \binom{n}{k} = \binom{n}{n-k} & \quad \binom{n}{k} + \binom{n}{k+1} = \binom{n+1}{k+1} \end{aligned}$$

1.5 Sinus, Kosinus, Tangens und Kotangens**1.5.1 Beziehungen zwischen Sinus, Kosinus, Tangens und Kotangens**

$$\begin{aligned} \sin^2(\alpha) + \cos^2(\alpha) &= 1 & \tan(\alpha) \cdot \cot(\alpha) &= 1 \\ \tan(\alpha) &= \frac{\sin(\alpha)}{\cos(\alpha)} & \cot(\alpha) &= \frac{\cos(\alpha)}{\sin(\alpha)} \\ 1 + \tan^2(\alpha) &= \frac{1}{\cos^2(\alpha)} & 1 + \cot^2(\alpha) &= \frac{1}{\sin^2(\alpha)} \end{aligned}$$

1.5.2 Additionstheoreme

$$\begin{aligned} \sin(\alpha \pm \beta) &= \sin(\alpha) \cos(\beta) \pm \cos(\alpha) \sin(\beta) \\ \cos(\alpha \pm \beta) &= \cos(\alpha) \cos(\beta) \mp \sin(\alpha) \sin(\beta) \\ \tan(\alpha \pm \beta) &= \frac{\tan(\alpha) \pm \tan(\beta)}{1 \mp \tan(\alpha) \tan(\beta)} \end{aligned}$$

1.5.3 Funktionen des doppelten und halben Winkels

$$\sin(2\alpha) = 2 \sin(\alpha) \cos(\alpha)$$

$$\cos(2\alpha) = \cos^2(\alpha) - \sin^2(\alpha) = 2 \cos^2(\alpha) - 1 = 1 - 2 \sin^2(\alpha)$$

$$\tan(2\alpha) = \frac{2 \tan(\alpha)}{1 - \tan^2(\alpha)}$$

$$\sin^2\left(\frac{\alpha}{2}\right) = \frac{1}{2}(1 - \cos(\alpha))$$

$$\cos^2\left(\frac{\alpha}{2}\right) = \frac{1}{2}(1 + \cos(\alpha))$$

$$\tan^2\left(\frac{\alpha}{2}\right) = \frac{1 - \cos(\alpha)}{1 + \cos(\alpha)}$$

1.5.4 Umformungen

Summe oder Differenz in ein Produkt

$$\sin(\alpha) + \sin(\beta) = 2 \sin\left(\frac{\alpha+\beta}{2}\right) \cos\left(\frac{\alpha-\beta}{2}\right)$$

$$\sin(\alpha) - \sin(\beta) = 2 \cos\left(\frac{\alpha+\beta}{2}\right) \sin\left(\frac{\alpha-\beta}{2}\right)$$

$$\cos(\alpha) + \cos(\beta) = 2 \cos\left(\frac{\alpha+\beta}{2}\right) \cos\left(\frac{\alpha-\beta}{2}\right)$$

$$\cos(\alpha) - \cos(\beta) = -2 \sin\left(\frac{\alpha+\beta}{2}\right) \sin\left(\frac{\alpha-\beta}{2}\right)$$

Produkt in eine Summe oder Differenz

$$2 \sin(\alpha) \sin(\beta) = \cos(\alpha - \beta) - \cos(\alpha + \beta)$$

$$2 \cos(\alpha) \cos(\beta) = \cos(\alpha - \beta) + \cos(\alpha + \beta)$$

$$2 \sin(\alpha) \cos(\beta) = \sin(\alpha - \beta) + \sin(\alpha + \beta)$$

1.6 Komplexe Zahlen

Für die Menge aller komplexen Zahlen schreibt man:

$$\mathbb{C} = \{z | z = a + bj, a \in \mathbb{R} \wedge b \in \mathbb{R}\}$$

a-Realteil b-Imaginaerteil j-imaginaere Einheit

kartesische Form	trigonometrische Form	exponentialform
$z = a + bj$	$z = z (\cos \varphi + j \cdot \sin \varphi)$	$z = z \cdot e^{j\varphi}$
$z^* = (a + bj)^* = a - bj$	$z^* = z (\cos \varphi - j \cdot \sin \varphi)$	$z^* = z \cdot e^{-j\varphi}$

$|z|$ = Betrag von z

φ = Argument (Winkel) von z

z^* = Konjugiert komplexe Zahl

1.6.1 Umrechnungen zwischen den Darstellungsformen

Polarform \rightarrow Kartesische Form

$$z = |z| \cdot e^{j\varphi} = |z| (\cos \varphi + j \cdot \sin \varphi) = \underbrace{|z| \cdot \cos \varphi}_a + j \cdot \underbrace{|z| \cdot \sin \varphi}_b = a + bj$$

Kartesische Form \rightarrow Polarform

$$|z| = \sqrt{a^2 + b^2}, \quad \tan \varphi = \frac{b}{a}$$

1.6.2 Rechnen mit Komplexen Zahlen

Multiplikation

In kartesischer Form:

$$z_1 \cdot z_2 = (a_1 + jb_1) \cdot (a_2 + jb_2) = (a_1a_2 - b_1b_2) + j \cdot (a_1b_2 + a_2b_1)$$

In der Polarform:

$$\begin{aligned} z_1 \cdot z_2 &= [|z_1| (\cos \varphi_1 + j \cdot \sin \varphi_1)] \cdot [|z_2| (\cos \varphi_2 + j \cdot \sin \varphi_2)] \\ &= (|z_1| |z_2|) \cdot [\cos (\varphi_1 + \varphi_2) + j \cdot \sin (\varphi_1 + \varphi_2)] \\ &= (|z_1| \cdot e^{j\varphi_1}) \cdot (|z_2| \cdot e^{j\varphi_2}) = (|z_1| |z_2|) \cdot e^{j(\varphi_1 + \varphi_2)} \end{aligned}$$

Division

In kartesischer Form

In der Polarform

Kapitel 2

Funktionen

2.1 Gleichungen

2.1.1 Gleichungen n -ten Grades

$$a_n \cdot x^n + a_{n-1} \cdot x^{n-1} + \dots + a_1 \cdot x + a_0 = 0 \quad (a_n \neq 0, a_k \in \mathbb{R})$$

Eigenschaften

- Die Gleichung besitzen maximal n reelle Lösungen.
- Es gibt genau n komplexe Lösungen.
- Für ungerades n gibt es mindestens eine reelle Lösung.
- Komplexe Lösungen treten immer Paarweise auf.
- Es existieren nur Lösungsformeln bis $n \leq 4$. Für $n > 4$ gibt es nur noch grafische oder numerische Lösungswege.
- Wenn eine Nullstelle bekannt ist kann man die Gleichung um einen Grad verringern, indem man den zugehörigen Linearfaktor $x - x_1$ abspaltet (Polynome Division).

2.1.2 Lineare Gleichungen

$$a_1 \cdot x + a_0 = 0 \Rightarrow x_1 = -\frac{a_0}{a_1} \quad (a_1 \neq 0)$$

2.1.3 Quadratische Gleichungen

$$a_2 \cdot x^2 + a_1 \cdot x + a_0 = 0 \quad (a_2 \neq 0)$$

Normalform mit Lösung

$$x^2 + p \cdot x + q = 0 \Rightarrow x_{1/2} = -\frac{p}{2} \pm \sqrt{\left(\frac{p}{2}\right)^2 - q}$$

Überprüfung (Vietascher Wurzelsatz)

$$x_1 + x_2 = -p$$

$$x_1 \cdot x_2 = q$$

x_1, x_2 : Lösung der quadratischen Gleichung.

2.1.4 Biquadratische Gleichungen

Diese Gleichungen lassen sich mithilfe der Substitution lösen.

$$a \cdot x^4 + b \cdot x^2 + c = 0$$

$$u = x^2$$

$$a \cdot u^2 + b \cdot u + c = 0$$

$$x = \pm \sqrt{u}$$

Das u kann mithilfe der Lösungsformel einer quadratischen Gleichung gelöst werden.

2.1.5 Gleichungen höheren Grades

Gleichungen höheren Grades kann man durch graphische oder numerische Ansätze lösen. Hilfreich ist das finden einer Lösung und das abspalten eines Linearfaktor, mithilfe der Polynomdivision oder dem Horner Schema, von der ursprünglichen Gleichung.

Polynomdivision

$$\frac{f(x)}{x - x_0} = \frac{a_3 \cdot x^3 + a_2 \cdot x^2 + a_1 \cdot x + a_0}{x - x_0} = b_2 \cdot x^2 + b_1 \cdot x + b_0 + r(x)$$

x_0 ist dabei die erste gefundene Nullstelle. $r(x)$ verschwindet wenn x_0 eine Nullstelle oder eine Lösung von $f(x)$ ist.

$$r(x) = \frac{a_3 \cdot x_0^3 + a_2 \cdot x_0^2 + a_1 \cdot x_0 + a_0}{x - x_0} = \frac{f(x_0)}{x - x_0}$$

2.1.6 Wurzelgleichung

Wurzelgleichungen löst man durch quadrieren oder mit Hilfe von Substitution. Bei Wurzelgleichung ist zu beachten das quadrieren keine Äquivalente Umformung ist und das Ergebniss überprüft werden muss.

2.1.7 Ungleichungen

- Beidseitiges Subtrahieren oder Addieren ist möglich
- Die Ungleichung darf mit einer beliebige positiven Zahl multipliziert oder dividiert werden
- Die Ungleichung darf mit einer beliebige negativen Zahl multipliziert oder dividiert werden, wenn man gleichzeitig das Relationszeichen umdreht.

2.1.8 Betragsgleichungen

Betragsgleichungen löst man mithilfe der Fallunterscheidung. Dabei wird einmal davon ausgegangen das der Term innerhalb des Betrags einmal positiv und einmal negativen sein kann.

$$y = |x| = \begin{cases} x & \text{für } x \geq 0 \\ -x & \text{für } x < 0 \end{cases}$$

Kapitel 3

Vektorrechnung

3.1 Vektorrechnung

3.1.1 Grundlagen

Darstellung

$$\begin{aligned}\vec{a} &= \vec{a}_x + \vec{a}_y + \vec{a}_z \\ &= a_x \vec{e}_x + a_y \vec{e}_y + a_z \vec{e}_z \\ &= \begin{pmatrix} a_x \\ a_y \\ a_z \end{pmatrix}\end{aligned}$$

2 Punkt Vektor

$$P_1 \vec{P}_2 = \begin{pmatrix} x_2 - x_1 \\ y_2 - y_1 \\ z_2 - z_1 \end{pmatrix}$$

Betrag

$$\begin{aligned}|\vec{a}| &= a \\ &= \sqrt{a_x^2 + a_y^2 + a_z^2} \\ &= \sqrt{\vec{a} \circ \vec{a}}\end{aligned}$$

Richtungswinkel

$$\begin{aligned}\cos \alpha &= \frac{a_x}{|\vec{a}|} \\ \cos \beta &= \frac{a_y}{|\vec{a}|} \\ \cos \gamma &= \frac{a_z}{|\vec{a}|} \\ 1 &= \cos^2 \alpha + \cos^2 \beta + \cos^2 \gamma\end{aligned}$$

3.1.2 Vektoroperationen

Addition und Subtraktion

$$\vec{a} \pm \vec{b} = \begin{pmatrix} a_x \pm b_x \\ a_y \pm b_y \\ a_z \pm b_z \end{pmatrix}$$

Multiplikation mit einem Skalar

$$a \cdot \vec{b} = \begin{pmatrix} ab_x \\ ab_y \\ ab_z \end{pmatrix}$$

Einheitsvektor

$$\vec{e}_a = \frac{\vec{a}}{|\vec{a}|} = \begin{pmatrix} a_x/|\vec{a}| \\ a_y/|\vec{a}| \\ a_z/|\vec{a}| \end{pmatrix}$$

Skalarprodukt

$$\begin{aligned} \vec{a} \circ \vec{b} &= \begin{pmatrix} a_x \\ a_y \\ a_z \end{pmatrix} \circ \begin{pmatrix} b_x \\ b_y \\ b_z \end{pmatrix} \\ &= a_x b_x + a_y b_y + a_z b_z \\ &= |\vec{a}| \cdot |\vec{b}| \cdot \cos \angle(\vec{a}, \vec{b}) \end{aligned}$$

Kreuzprodukt

$|\vec{a} \times \vec{b}|$ Fläche des Parallelograms \vec{a}, \vec{b}
 $\vec{a} \times \vec{b} \perp \vec{a} \wedge \vec{a} \times \vec{b} \perp \vec{b}$

$$\begin{aligned} \vec{a} \times \vec{b} &= \begin{pmatrix} a_x \\ a_y \\ a_z \end{pmatrix} \times \begin{pmatrix} b_x \\ b_y \\ b_z \end{pmatrix} \\ &= \begin{pmatrix} a_y b_z - a_z b_y \\ a_z b_x - a_x b_z \\ a_x b_y - a_y b_x \end{pmatrix} \\ &= \begin{vmatrix} \vec{e}_x & \vec{e}_y & \vec{e}_z \\ a_x & a_y & a_z \\ b_x & b_y & b_z \end{vmatrix} \end{aligned}$$

Spatprodukt

$$\vec{a} \circ (\vec{b} \times \vec{c})$$

Volumen des Parallelepiped $\vec{a}, \vec{b}, \vec{c}$

$$\begin{aligned} [\vec{a}\vec{b}\vec{c}] &= \vec{a} \circ (\vec{b} \times \vec{c}) \\ &= a_x(b_y c_z - b_z c_y) \\ &\quad + a_y(b_z c_x - b_x c_z) \\ &\quad + a_z(b_x c_y - b_y c_x) \\ &= \begin{vmatrix} a_x & a_y & a_z \\ b_x & b_y & b_z \\ c_x & c_y & c_z \end{vmatrix} \end{aligned}$$

Schnittwinkel

$$\cos \angle(\vec{a}, \vec{b}) = \frac{\vec{a} \circ \vec{b}}{|\vec{a}| \cdot |\vec{b}|}$$

Projektion

$$\vec{a}_b = \left(\frac{\vec{a} \circ \vec{b}}{|\vec{a}|^2} \right) \vec{a} = (\vec{b} \circ \vec{e}_a) \vec{e}_a$$

3.1.3 Geraden

Geradengleichung

$$\begin{aligned}\vec{r}(t) &= \vec{r}_1 + t\vec{a} \\ &= \vec{r}_1 + t(\vec{r}_2 - \vec{r}_1)\end{aligned}$$

Abstand eines Punktes von einer Geraden

$$\begin{aligned}\vec{r}(t) &= \vec{r}_1 + t\vec{a} \\ d &= \frac{|\vec{a} \times (\vec{OP} - \vec{r}_1)|}{|\vec{a}|}\end{aligned}$$

Abstand zweier paralleler Geraden

$$\begin{aligned}\vec{r}(t) &= \vec{r}_1 + t\vec{a}_1 \\ \vec{g}(t) &= \vec{r}_2 + t\vec{a}_1 \\ d &= \frac{|\vec{a}_1 \times (\vec{r}_2 - \vec{r}_1)|}{|\vec{a}_1|}\end{aligned}$$

Abstand zweier windschiefen Geraden

$$\begin{aligned}\vec{r}(t) &= \vec{r}_1 + t\vec{a}_1 \\ \vec{g}(t) &= \vec{r}_2 + t\vec{a}_2 \\ d &= \frac{|\vec{a}_1 \circ (\vec{a}_2 \times (\vec{r}_2 - \vec{r}_1))|}{|\vec{a}_1 \times \vec{a}_2|}\end{aligned}$$

3.1.4 Ebenen

Ebenengleichung

$$\begin{aligned}\vec{r}(t, s) &= \vec{r}_1 + t\vec{a}_1 + s\vec{a}_2 \\ &= \vec{r}_1 + t(\vec{r}_2 - \vec{r}_1) \\ &\quad + s(\vec{r}_3 - \vec{r}_1)\end{aligned}$$

Parameterfreie Darstellung

$$\begin{aligned}\vec{r}(t, s) &= \vec{r}_1 + t\vec{a}_1 + s\vec{a}_2 \\ \vec{r} \circ (\vec{a}_1 \times \vec{a}_2) &= \vec{r}_1 \circ (\vec{a}_1 \times \vec{a}_2) \\ &\quad + t\vec{a}_1 \circ (\vec{a}_1 \times \vec{a}_2) \\ &\quad + s\vec{a}_2 \circ (\vec{a}_1 \times \vec{a}_2) \\ \vec{r} \circ \vec{n} &= \vec{r}_1 \circ \vec{n} + 0 + 0 \\ \vec{n} \circ (\vec{r} - \vec{r}_1) &= 0\end{aligned}$$

Normalenvektor

$$\vec{n} = \vec{a}_1 \times \vec{a}_2$$

Normierter Normalenvektor

$$\vec{e}_n = \frac{\vec{a}_1 \times \vec{a}_2}{|\vec{a}_1 \times \vec{a}_2|}$$

Hessesche Normalform

$$0 = \frac{Ax + By + Cz + D}{\sqrt{A^2 + B^2 + C^2}}$$

Abstand eines Punktes von einer Ebene

$$\begin{aligned}d &= \frac{|\vec{n} \times (\vec{OP} - \vec{r}_1)|}{|\vec{n}|} \\ d &= \frac{Ap_1 + Bp_2 + Cp_3 + D}{\sqrt{A^2 + B^2 + C^2}}\end{aligned}$$

Abstand eines Geraden von einer Ebene Abstand zweier paralleler Ebenen

$$\vec{r}(t) = \vec{r}_G + t\vec{a}_1$$

$$d = \frac{|\vec{n} \times (\vec{r}_G - \vec{r}_1)|}{|\vec{n}|}$$

$$d = \frac{Ar_{G1} + Br_{G2} + Cr_{G3} + D}{\sqrt{A^2 + B^2 + C^2}}$$

$$\vec{r}(t, s) = \vec{r}_1 + t\vec{a}_1 + s\vec{a}_2$$

$$\vec{g}(t, s) = \vec{r}_2 + t\vec{a}_3 + s\vec{a}_4$$

$$d = \frac{|\vec{n} \times (\vec{r}_1 - \vec{r}_2)|}{|\vec{n}|}$$

Schnittwinkel zweier Ebenen

$$\cos \angle(\vec{n}_1, \vec{n}_2) = \frac{|\vec{n}_1 \circ \vec{n}_2|}{|\vec{n}_1| \cdot |\vec{n}_2|}$$

Durchstoßpunkt

$$\vec{r}(t) = \vec{r}_G + t\vec{a}$$

$$\vec{r}_s = \vec{r}_G + \frac{\vec{n} \circ (\vec{r}_1 - \vec{r}_G)}{\vec{n} \circ \vec{a}} \vec{a}$$

$$\varphi = \arcsin \left(\frac{|\vec{n} \circ \vec{a}|}{|\vec{n}| \cdot |\vec{a}|} \right)$$

Kapitel 4

Differentialrechnung

4.1 Differntialrechnung

4.1.1 Erste Ableitungen der elementaren Funktionen

Potenzfunktion

$$x^n \iff n \cdot x^{n-1}$$

Exponentialfunktionen

$$\begin{aligned} e^x &\iff e^x \\ a^x &\iff \ln a \cdot a^x \end{aligned}$$

Logarithmusfunktionen

$$\begin{aligned} \ln x &\iff \frac{1}{x} \\ \log_a x &\iff \frac{1}{(\ln a) \cdot x} \end{aligned}$$

Trigonometrische Funktionen

$$\begin{aligned} \sin x &\iff \cos x \\ \cos x &\iff -\sin x \\ \tan x &\iff \frac{1}{\cos^2 x} \\ \tan x &\iff 1 + \tan^2 x \end{aligned}$$

Arcusfunktionen

$$\begin{aligned} \arcsin x &\iff \frac{1}{\sqrt{1-x^2}} \\ \arccos x &\iff \frac{-1}{\sqrt{1-x^2}} \\ \arctan x &\iff \frac{1}{1-x^2} \end{aligned}$$

Hyperbolische Funktionen

$$\begin{aligned} \sinh x &\iff \cosh x \\ \cosh x &\iff \sinh x \\ \tanh x &\iff \frac{1}{\cosh^2 x} \\ \tanh x &\iff 1 + \tanh^2 x \end{aligned}$$

4.1.2 Rechenregeln

Faktorregel

$$\frac{d}{dx} (C \cdot f(x)) = C \cdot f'(x)$$

Summenregel

$$\frac{d}{dx} (g(x) + f(x)) = g'(x) + f'(x)$$

Produktregel

$$\frac{d}{dx} (g(x) \cdot f(x)) = g'(x) \cdot f(x) + g(x) \cdot f'(x)$$

$$\frac{d}{dx} (h(x) \cdot g(x) \cdot f(x)) = h' \cdot g \cdot f + h \cdot g' \cdot f + h \cdot g \cdot f'$$

Quotientenregel

$$\frac{d}{dx} \left(\frac{g(x)}{f(x)} \right) = \frac{g'(x) \cdot f(x) - g(x) \cdot f'(x)}{f(x)^2}$$

Kettenregel

$$\frac{d}{dx} (g(f(x))) = g'(f) \cdot f'(x)$$

Logarithmische Ableitungen

$$\frac{d}{dx} y = f(x)$$

$$\frac{1}{y} y' = \frac{d}{dx} \ln f(x)$$

4.1.3 Fehlerrechnung

Absoluter Fehler

Δx Absoluter Fehler der Eingangsgröße

Δy Absoluter Fehler der Ausgangsgröße

$$\Delta y = f(x + \Delta x) - f(x)$$

Relativer Fehler

δx Relativer Fehler der Eingangsgröße in %

δy Relativer Fehler der Ausgangsgröße in %

$$\delta x = \frac{\Delta x}{x}$$

$$\delta y = \frac{\Delta y}{y}$$

$$\Delta y = f'(x) \cdot \Delta x$$

$$\delta y = \frac{x \cdot f'(x)}{f(x)} \delta x$$

4.1.4 Linearisierung und Taylor-Polynom**Tangentengleichung**

x_0 Punkt an dem das Polynom entwickelt wird

$$y_T(x) = f(x_0) + f'(x_0)(x - x_0)$$

Taylor Polynom

x_0 Punkt an dem das Polynom entwickelt wird

R_n Restglied

$$y(x) = f(x_0) + f'(x_0)(x - x_0) + \frac{f''(x_0)}{2!}(x - x_0)^2 + \cdots + \frac{f^{(n)}(x_0)}{n!}(x - x_0)^n + R_n(x)$$

$$y(x) = \sum_{i=0}^n \frac{f^{(i)}(x_0)}{i!}(x - x_0)^i + R_n(x)$$

Restglied

x_0 Punkt an dem das Polynom entwickelt wird

$x_0 < c < x$, wenn $x_0 < x$

$x_0 > c > x$, wenn $x_0 > x$

$$R_n(x) = \frac{f^{(n+1)}(c)}{(n+1)!}(x - x_0)^{n+1}$$

4.1.5 Grenzwertregel von Bernoulli und de l'Hospital

de l'Hospital

Gilt nur wenn $\lim_{x \rightarrow x_0} f(x)$ gleich $\frac{0}{0}$ oder $\frac{\infty}{\infty}$ ist

$$\lim_{x \rightarrow x_0} \frac{f(x)}{g(x)} = \lim_{x \rightarrow x_0} \frac{f'(x)}{g'(x)}$$

4.1.6 Differentielle Kurvenuntersuchung

Normale der Kurve

$$y_N(x) = f(x_0) - \frac{1}{f'(x)}(x - x_0)$$

Monotonie-Verhalten

$$f'(x) = \begin{cases} > 0 \text{ Monoton wachsend} \\ < 0 \text{ Monoton fallend} \end{cases}$$

Krümmungs-Verhalten

$$f''(x) = \begin{cases} > 0 \text{ Linkskr. (konvex)} \\ < 0 \text{ Rechtskr. (konkav)} \end{cases}$$

Ableitung in Polarkordinaten

\dot{r} Ableitung nach φ

\ddot{r} Zweite Ableitung nach φ

$$y(\varphi) = r(\varphi) \sin \varphi$$

$$x(\varphi) = r(\varphi) \cos \varphi$$

$$y' = \frac{dy}{dx} = \frac{r' \sin \varphi + r \cos \varphi}{r' \cos \varphi - r \sin \varphi}$$

$$y'' = \frac{d^2 y}{dx^2} = \frac{2(r')^2 - r \cdot r'' + r^2}{(r' \cos \varphi - r \sin \varphi)^3}$$

Ableitung in Parameterform

\dot{x} Ableitung nach t

\dot{y} Ableitung nach t

$$y = y(t)$$

$$x = x(t)$$

$$y' = \frac{dy}{dx} = \frac{\dot{y}}{\dot{x}}$$

$$y'' = \frac{d^2 y}{dx^2} = \frac{\dot{x}\ddot{y} - \dot{y}\ddot{x}}{\dot{x}^3}$$

Bogendifferential

"Wegelement" einer Funktion

$$ds = \sqrt{1 + (f'(x))^2} \cdot dx$$

$$ds = \sqrt{(\dot{x})^2 + (\dot{y})^2} \cdot dt$$

$$ds = \sqrt{r^2 + (r')^2} \cdot d\varphi$$

Winkeländerung

$$\tau = \arctan y'$$

$$d\tau = \frac{y''}{1 + (y')^2} \cdot dx$$

Krümmungskreis

$$\rho = \frac{1}{|\kappa|}$$

$$x_K = x_P - y' \frac{1 + (y')^2}{|y''|}$$

$$y_K = y_P + \frac{1 + (y')^2}{|y''|}$$

ρ : Radius

(x_K, y_K) : Kreismittelpunkt

(x_P, y_P) : Kurvenpunkt

Kurvenkrümmung

$$\kappa = \frac{d\tau}{ds}$$

$$\kappa = \frac{y''}{\sqrt{(1 + (y')^2)^3}}$$

$$\kappa = \frac{\dot{x}\ddot{y} - \dot{y}\ddot{x}}{\sqrt{(\dot{x}^2 + \dot{y}^2)^3}}$$

$$\kappa = \frac{2(r')^2 - r \cdot r'' + r^2}{\sqrt{(r^2 + (r')^2)^3}}$$

4.2 Differentialgleichungen

Anfangswertproblem: Werte nur an einer Stelle vorgegeben
 Randwertproblem: Werte an mehreren Stellen vorgegeben

Lineare DG

$$y_{all} = y_h + y_p$$

4.2.1 DG 1. Ordnung

Trennung der variablen

$$y'(x) = f(x) \cdot g(y)$$

$$\int \frac{dy}{g(y)} = \int f(x) dx$$

Lineare DG

$$y' + f(x) \cdot g(y) = g(x)g(y) = 0 \Rightarrow \text{homogen}$$

$$y_{all} = e^{-F(x)} \cdot \left(\int g(x) \cdot e^{F(x)} dx + C \right)$$

4.2.2 Lineare DG 2. Ordnung

Darstellung

$$a(x) \cdot y'' + b(x) \cdot y' + c(x) \cdot y = g(x)$$

$$g(x) = 0 \Rightarrow \text{homogen}$$

Fundamental Lösungen

$$a\lambda^2 + b\lambda + c = 0$$

$$\lambda_{1/2} = \alpha \pm \beta \cdot j$$

$$y_h = C_1 e^{\lambda_1 x} + C_2 e^{\lambda_2 x} \quad \lambda_1 \neq \lambda_2$$

$$y_h = C_1 e^{\lambda_1 x} + C_2 x e^{\lambda_2 x} \quad \lambda_1 = \lambda_2$$

$$y_h = C_1 e^{\alpha x} \cdot \cos(\beta x)$$

$$+ C_2 e^{\alpha x} \cdot \sin(\beta x)$$

In Folgenden Aufzählungen gilt:

- $G(x)$ Ansatz
- $g(x)$ Störglied
- r Anzahl der Resonanzfälle

Partikuläre Lösungen(Polynom)

$$a\lambda^2 + b\lambda + c = 0$$

$$g(x) = b_0 + b_1x + b_2x^2 + \cdots + b_nx^n$$

$$G(x) = B_0 + B_1x + B_2x^2 + \cdots + B_nx^n \quad \lambda \neq 0$$

$$G(x) = (B_0 + B_1x + B_2x^2 + \cdots + B_nx^n) \cdot x^r \quad \lambda = 0$$

Partikuläre Lösungen(Polynom und e-Funktion)

$$a\lambda^2 + b\lambda + c = 0$$

$$g(x) = (b_0 + b_1x + b_2x^2 + \cdots + b_nx^n) e^{mx}$$

$$G(x) = (B_0 + B_1x + B_2x^2 + \cdots + B_nx^n) e^{mx} \quad \lambda \neq m$$

$$G(x) = (B_0 + B_1x + B_2x^2 + \cdots + B_nx^n) e^{mx} \cdot x^r \quad \lambda = m$$

Partikuläre Lösungen(sin- und cos Funktion)

$$a\lambda^2 + b\lambda + c = 0$$

$$g(x) = a \cos(kx) + b \sin(kx)$$

$$G(x) = A \cos(kx) + B \sin(kx) \quad \lambda \neq \pm kj$$

$$G(x) = A \cos(kx) + B \sin(kx) \cdot x^r \quad \lambda = \pm kj$$

Partikuläre Lösungen(e-, sin- und cos Funktion)

$$0 = a\lambda^2 + b\lambda + c$$

$$g(x) = (b_0 + b_1x + b_2x^2 + \cdots + b_nx^n) e^{mx} \cdot (c \cos(kx) + d \sin(kx))$$

$$G(x) = (B_0 + B_1x + B_2x^2 + \cdots + B_nx^n) e^{mx} \cdot (C \cos(kx) + D \sin(kx))$$

$$\lambda \neq m \pm kj$$

$$G(x) = (B_0 + B_1x + B_2x^2 + \cdots + B_nx^n) e^{mx} \cdot (C \cos(kx) + D \sin(kx)) \cdot x^r$$

$$\lambda = m \pm kj$$

4.3 Differential- und Integralrechnung mit mehreren Variablen

4.3.1 Differentialrechnung

Ableitung

$$y = f(x_1, x_2, \dots, x_3)$$

$$\frac{\partial y}{\partial x_1} = y_{x_1} \quad \text{Alles bis auf } x_1 \text{ ist konstant beim ableiten}$$

$$\frac{\partial y}{\partial x_n} = y_{x_n} \quad \text{Alles bis auf } x_n \text{ ist konstant beim ableiten}$$

$$\frac{\partial^2 y}{\partial x_1^2} = y_{x_1 x_1} \quad \text{Alles bis auf } x_1 \text{ ist konstant beim ableiten}$$

$$y_{x_1 x_2} = y_{x_2 x_1}$$

Tangentialebene

(x_0, y_0) Entwicklungspunkte der Ebene

$$z - z_0 = f_x(x_0; y_0) \cdot (x - x_0) + f_y(x_0; y_0) \cdot (y - y_0)$$

Totales Differential

$$dz = f_x \cdot dx + f_y \cdot dy$$

Extrema

$$f_x(x_0, y_0) = 0$$

$$f_{xx}(x_0; y_0) < 0$$

$$f_{xx}(x_0; y_0) > 0$$

$$\begin{vmatrix} f_{xx}(x_0; y_0) & f_{xy}(x_0; y_0) \\ f_{xy}(x_0; y_0) & f_{yy}(x_0; y_0) \end{vmatrix} > 0$$

$$f_y(x_0, y_0) = 0$$

Maximum

Minimum

Sattelpunkt

$$f_x(x_0, y_0) = 0$$

$$\begin{vmatrix} f_{xx}(x_0; y_0) & f_{xy}(x_0; y_0) \\ f_{xy}(x_0; y_0) & f_{yy}(x_0; y_0) \end{vmatrix} < 0$$

$$f_y(x_0, y_0) = 0$$

Richtungsableitung

$$\frac{\partial z}{\partial \vec{a}} = \frac{1}{\sqrt{a_x^2 + a_y^2}} \cdot (a_x z_x + a_y z_y)$$

$$\frac{\partial z}{\partial \alpha} = z_x \cos \alpha + z_y \sin \alpha$$

$$\frac{\partial z}{\partial \alpha} = \vec{e}_\alpha \cdot \text{grad}(z)$$

4.3.2 Mehrfachintegral**Polarkordinaten**

$$x = x_0 + r \cos \varphi$$

$$y = y_0 + r \sin \varphi$$

Volumen

$$\iiint_V dV = \int_x \int_y \int_z dz dy dx$$

$$\iiint_V dV = \int_r \int_\varphi \int_z r dz dr d\varphi$$

Fläche

$$A = \iint_{(A)} dA$$

Masse

$$m = \iint_{(A)} \rho(x, y) dx dy$$

$$m = \iint_{(A)} \rho(r, \varphi) r dr d\varphi$$

$$m = \iiint_{(V)} \rho(x, y) dz dx dy$$

$$m = \iiint_{(V)} \rho(r, \varphi) r dz dr d\varphi$$

Statisches Moment

(M_x, M_y) Achsmomente

$M_x :$

$$= \iint_{(A)} y \rho(x, y) dx dy$$

$$= \iint_{(A)} y_0 + r \sin \varphi \rho(r, \varphi) r dr d\varphi$$

$M_y :$

$$= \iint_{(A)} x \rho(x, y) dx dy$$

$$= \iint_{(A)} x_0 + r \cos \varphi \rho(r, \varphi) r dr d\varphi$$

Schwerpunkt

$$x_s = \frac{M_y}{m}$$

$$y_s = \frac{M_x}{m}$$

Trägheitsmoment

$$I_x = \iint_{(A)} y^2 \rho(x, y) \, dx \, dy$$

$$I_x = \iint_{(A)} (y_0 + r \sin \varphi)^2 \rho(r, \varphi) r \, dr \, d\varphi$$

$$I_y = \iint_{(A)} x^2 \rho(x, y) \, dx \, dy$$

$$I_y = \iint_{(A)} (x_0 + r \cos \varphi)^2 \rho(r, \varphi) r \, dr \, d\varphi$$

Polares Trägheitsmoment

$$I_x = \iint_{(A)} (y^2 + x^2) \rho(x, y) \, dx \, dy$$

$$I_x = \iint_{(A)} \left((y_0 + r \sin \varphi)^2 + (x_0 + r \cos \varphi)^2 \right) \rho(r, \varphi) r \, dr \, d\varphi$$

Kugelkoordinaten

$$V = \int_r \int_{\vartheta} \int_{\varphi} r^2 \sin \vartheta \, d\varphi \, d\vartheta \, dr$$

Kapitel 5

Folgen und Reihen

5.1 Reihen

5.1.1 Geometrische Folge

Darstellung

$$a_n = a \cdot q^n \qquad \sum_{n=0}^{\infty} a \cdot q^n = \frac{a}{1-q}$$

Konvergent für $|q| < 1$

5.1.2 Harmonische Reihe

Darstellung

$$\sum_{n=1}^{\infty} \frac{1}{n^s}$$

Konvergent für $s > 1$

5.1.3 Konvergenz

Majorantenkriterium

$$\sum_{n=0}^{\infty} a_n \leq \sum_{n=0}^{\infty} b_n$$

b_n bekannte konvergente Reihe

Minorantenkriterium

$$\sum_{n=0}^{\infty} a_n \geq \sum_{n=0}^{\infty} b_n$$

b_n bekannte divergente Reihe

Wurzelkriterium

$$\lim_{n \rightarrow \infty} \sqrt[n]{a_n} = q \begin{cases} q > 1 \text{ ist die Reihe divergent} \\ q < 1 \text{ ist die Reihe konvergent} \\ q = 1 \text{ ist keine Aussage möglich} \end{cases}$$

Quotientenkriterium

$$\lim_{n \rightarrow \infty} \frac{a_{n+1}}{a_n} = q \begin{cases} q > 1 \text{ ist die Reihe divergent} \\ q < 1 \text{ ist die Reihe konvergent} \\ q = 1 \text{ ist keine Aussage möglich} \end{cases}$$

Leibnizkriterium

Nur bei alternierenden Reihen

$$\lim_{n \rightarrow \infty} (-1)^n a_n$$

$$\lim_{n \rightarrow \infty} a_n = q$$

$q = 0$ ist die Reihe divergent

$$\lim_{n \rightarrow \infty} (-1)^n a_n = \lim_{n \rightarrow \infty} a_n$$

Absolut Konvergent

5.1.4 Bekannte konvergente Reihen

$$\sum_{n=0}^{\infty} \frac{1}{n!} = e$$

$$\sum_{n=0}^{\infty} \frac{(-1)^n}{n!} = \frac{1}{e}$$

$$\sum_{n=0}^{\infty} \frac{1}{2^n} = 2$$

$$\sum_{n=0}^{\infty} \frac{(-1)^n}{2^n} = \frac{2}{3}$$

$$\sum_{n=0}^{\infty} \frac{(-1)^{n+1}}{n} = \ln 2$$

$$\sum_{n=0}^{\infty} \frac{(-1)^{n+1}}{2n-1} = \frac{\pi}{4}$$

5.2 Funktionenreihen

Darstellung

$$\sum_{n=0}^{\infty} f_n(x)$$

5.2.1 Potenzreihen

Darstellung

$$\sum_{n=0}^{\infty} a_n x^n$$

$$\sum_{n=0}^{\infty} a_n (x - x_0)^n$$

x_0 : Verschiebung des
Entwicklungspunktes.

Konvergenz

$$r = \lim_{n \rightarrow \infty} \left| \frac{a_n}{a_{n+1}} \right|$$

$$r = \frac{1}{\lim_{n \rightarrow \infty} \sqrt[n]{|a_n|}}$$

Ränder müssen
untersucht werden.

5.2.2 Bekannte Potenzreihen

$$e^x = \sum_{n=0}^{\infty} \frac{x^n}{n!}$$

$$x \in \mathbb{R}$$

$$\ln x = \sum_{n=1}^{\infty} \frac{(-1)^{n-1}}{n} (x-1)^n$$

$$x \in (0, 2]$$

$$\ln(1+x) = \sum_{n=1}^{\infty} \frac{(-1)^{n-1}}{n} x^n$$

$$x \in (-1, 1]$$

$$\ln(1-x) = - \sum_{n=1}^{\infty} \frac{x^n}{n}$$

$$x \in [-1, 1)$$

$$(1+x)^\alpha = \sum_{n=0}^{\infty} \binom{\alpha}{n} x^n$$

$$x \in [-1, 1]$$

5.2.3 spezielle Reihen

$$\sin x = \sum_{n=0}^{\infty} \frac{(-1)^n}{(2n+1)!} x^{2n+1} \quad x \in \mathbb{R}$$

$$\cos x = \sum_{n=0}^{\infty} \frac{(-1)^n}{(2n)!} x^{2n} \quad x \in \mathbb{R}$$

$$\sinh x = \sum_{n=0}^{\infty} \frac{1}{(2n+1)!} x^{2n+1} \quad x \in \mathbb{R}$$

$$\cosh x = \sum_{n=0}^{\infty} \frac{1}{(2n)!} x^{2n} \quad x \in \mathbb{R}$$

$$\arcsin x = \sum_{n=0}^{\infty} \frac{(2n)!}{2^{2n} (n!)^2 (2n+1)} x^{2n+1} \quad x \in [-1, 1]$$

$$\arctan x = \sum_{n=0}^{\infty} \frac{(-1)^n}{(2n+1)} x^{2n+1} \quad x \in \mathbb{R}$$

$$\operatorname{arsinh} x = \sum_{n=0}^{\infty} \frac{(-1)^n (2n)!}{2^{2n} (n!)^2 (2n+1)} x^{2n+1} \quad x \in [-1, 1]$$

$$\operatorname{artanh} x = \sum_{n=0}^{\infty} \frac{1}{(2n+1)} x^{2n+1} \quad x \in \mathbb{R}$$

5.2.4 Fourier Reihen

Allgemein

$$y(t) = \frac{a_0}{2} + \sum_{n=1}^{\infty} (a_n \cdot \cos(n\omega_0 t) + b_n \cdot \sin(n\omega_0 t))$$

$$a_0 = \frac{2}{T} \int_{(T)} y(t) \, dt$$

$$a_n = \frac{2}{T} \int_{(T)} y(t) \cdot \cos(n\omega_0 t) \, dt$$

$$b_n = \frac{2}{T} \int_{(T)} y(t) \cdot \sin(n\omega_0 t) \, dt$$

Symetrie

$$y(t) = \frac{a_0}{2} + \sum_{n=1}^{\infty} (a_n \cdot \cos(n\omega_0 t))$$

gerade Funktion $b_n = 0$

$$y(t) = \sum_{n=1}^{\infty} (b_n \cdot \sin(n\omega_0 t))$$

ungerade Funktion $a_n = 0$ **Komplex**

$$y(x) = \sum_{n=-\infty}^{\infty} c_n \cdot e^{jn x}$$

$$c_n = \frac{1}{T} \int_{(T)} y(x) \cdot e^{-jn x} dx$$

Umrechnung

$$c_0 = \frac{1}{2} a_0$$

$$c_n = \frac{1}{2} (a_n - j b_n)$$

$$c_{-n} = \frac{1}{2} (a_n + j b_n)$$

$$a_0 = 2c_0$$

$$a_n = c_n + c_{-n}$$

$$b_n = j (c_n - c_{-n})$$

Kapitel 6

Interpolation

6.1 Interpolationspolynome

Entwicklung einer Polynomfunktion anhand von $n + 1$ Kurvenpunkten.

- 1. Möglichkeit: Aufstellen von $n + 1$ Gleichungen und ermitteln der Kurvenfunktion mithilfe des Gauß' Algorithmus.
- 2. Möglichkeit: Interpolationspolynome nach Newton.

Interpolationspolynome nach Newton

Gegeben sind die Punkte:

$P_0 = (x_0; y_0), P_1 = (x_1; y_1), P_2 = (x_2; y_2), \dots, P_n = (x_n; y_n)$,
damit lautet die Funktion wie folgt.

$$\begin{aligned} f(x) = & a_0 + a_1 \cdot (x - x_0) + a_2 \cdot (x - x_0) \cdot (x - x_1) \\ & + a_3 \cdot (x - x_0) \cdot (x - x_1) \cdot (x - x_2) \\ & + \dots \\ & + a_n \cdot (x - x_0) \cdot \dots \cdot (x - x_{n-1}) \end{aligned}$$

Die Koeffizienten $a_0, a_1, a_2, \dots, a_n$ lassen sich mithilfe des Differentschema berechnen. Dabei ist $y_0 = a_0, [x_0, x_1] = a_1, [x_0, x_1, x_2] = a_2$ usw. .

Differentenschema

k	x_k	y_k	1	2	3	...
0	x_0	y_0				
			$[x_0, x_1]$			
1	x_1	y_1		$[x_0, x_1, x_2]$		
			$[x_1, x_2]$		$[x_0, x_1, x_2, x_3]$	
2	x_2	y_2		$[x_1, x_2, x_3]$...
			$[x_2, x_3]$		$[x_0, x_1, x_2, x_3]$	
3	x_3	y_3		$[x_2, x_3, x_4]$...
			
\vdots	\vdots	\vdots				
n	x_n	y_n				

Rechenregeln für dividierte Differenzen

$$\begin{aligned}
 [x_0, x_1] &= \frac{y_0 - y_1}{x_0 - x_1} & [x_1, x_2] &= \frac{y_1 - y_2}{x_1 - x_2} \\
 [x_0, \dots, x_2] &= \frac{[x_0, x_1] - [x_1, x_2]}{x_0 - x_2} & [x_1, \dots, x_3] &= \frac{[x_1, x_2] - [x_2, x_3]}{x_1 - x_3} \\
 [x_0, \dots, x_3] &= \frac{[x_0, x_1, x_2] - [x_1, x_2, x_3]}{x_0 - x_3} & [x_1, \dots, x_4] &= \frac{[x_1, x_2, x_3] - [x_2, x_3, x_4]}{x_1 - x_4}
 \end{aligned}$$

Teil II

Physik

Kapitel 7

Kinematik

Perfection is achieved
only on the point of collapse.
- C. N. Parkinson

7.1 Analogietabelle

Translation		Rotation
\vec{s} $\downarrow \frac{ds}{dt}$ \vec{v} $\downarrow \frac{dv}{dt}$ \vec{a}	$\vec{v} = \vec{\omega} \times \vec{r}$ $a = \underbrace{\alpha \times r}_{a_{Tan}} - \underbrace{\omega^2 r}_{a_R}$	$\vec{\varphi}$ $\downarrow \frac{d\varphi}{dt}$ $\vec{\omega}$ $\downarrow \frac{d\omega}{dt}$ $\vec{\alpha}$
m $\downarrow \frac{dm}{dt}$ \vec{F} $\downarrow \frac{dF}{dt}$ \vec{p} $\frac{m}{2}v^2$	E_{kin}	J $\downarrow \frac{dJ}{dt}$ \vec{M} $\downarrow \frac{dM}{dt}$ \vec{L} $\frac{J}{2}\omega^2$

7.1.1 Translation

$$\begin{aligned}a(t) &= a_0 = \frac{dv}{dt} = \dot{v} = \ddot{s} \\v(t) &= a_0 \cdot t + v_0 = \frac{ds}{dt} = \dot{s} \\s(t) &= \frac{1}{2}a_0 \cdot t^2 + v_0 \cdot t + s_0\end{aligned}$$

Bahngroessen

$$\begin{aligned}a_t(t) &= a_0 = \frac{dv}{dt} = \dot{v} = \ddot{s} \\v(t) &= a_0 \cdot t + v_0 = \frac{ds}{dt} = \dot{s} \\s(t) &= \frac{1}{2}a_0 \cdot t^2 + v_0 \cdot t + s_0\end{aligned}$$

Kreisfrequenz

$$\begin{aligned}\omega &= \frac{2 \cdot \pi}{T} \\&= 2 \cdot \pi \cdot n \\&= 2 \cdot \pi \cdot f\end{aligned}$$

Umdrehungen

$$\begin{aligned}N &= \frac{\omega_0 \cdot t}{2 \cdot \pi} + \frac{1}{2} \cdot \frac{\alpha}{2 \cdot \pi} \cdot t^2 \\&= n_0 \cdot t + \frac{\alpha}{4 \cdot \pi} \cdot t^2\end{aligned}$$

7.1.2 Rotation

$$\begin{aligned}\alpha(t) &= \alpha_0 = \frac{d\omega}{dt} = \dot{\omega} = \ddot{\varphi} \\\omega(t) &= \alpha_0 \cdot t + \omega_0 = \frac{d\varphi}{dt} = \dot{\varphi} \\\varphi(t) &= \frac{1}{2}\alpha_0 \cdot t^2 + \omega_0 \cdot t + \varphi_0\end{aligned}$$

Winkelgroessen

$$\begin{aligned}\vec{a}_t &= \vec{\alpha} \times \vec{r} = \alpha \cdot r & \alpha \perp r \\\vec{\alpha} &= \vec{r} \times \vec{a}_t \\\vec{v} &= \vec{\omega} \times \vec{r} = \omega \cdot r & \omega \perp r \\\vec{\omega} &= \vec{r} \times \vec{v} \\s &= \varphi \cdot r\end{aligned}$$

Radialbeschleunigung

$$\begin{aligned}a_r &= \frac{v^2}{r} \\&= v \cdot \omega \\&= \omega^2 \cdot r\end{aligned}$$

7.2 Dynamik

7.2.1 Geradlinig (Translation)

$$\vec{F} = m \cdot \vec{a}$$

$$\vec{F}_{\text{Tr}} = -m \cdot \vec{a}$$

Impuls

$$\vec{p} = m \cdot \vec{v}$$

Kraftstoss

$$\vec{F} = \frac{d\vec{p}}{dt} = m \cdot \frac{d\vec{v}}{dt} + \vec{v} \cdot \frac{dm}{dt}$$

$$\Delta\vec{p} = \vec{p}_2 - \vec{p}_1 = \int_{\vec{p}_2}^{\vec{p}_1} d\vec{p} = \int_0^t \vec{F} dt$$

Arbeit

$$W = - \int_{\vec{s}_1}^{\vec{s}_2} \vec{F}_{\text{Tr}} \circ d\vec{s}$$

$$= \int_{\vec{v}_0}^{\vec{v}_1} m\vec{v} \circ d\vec{v} = \frac{1}{2}m(v_1^2 - v_0^2)$$

Hubarbeit

$$W_{\text{hub}} = mgh$$

Kinetische Energie

$$E_{\text{kin}} = \frac{1}{2}mv^2$$

Leistung

$$P = \vec{F} \circ \vec{v} = \frac{dW}{dt} = \dot{W}$$

7.2.2 Drehbewegung(Rotation)

Massenträgheitsmoment

$$J = \int r^2 dm$$

Drehmoment

$$\vec{M} = \vec{r} \times \vec{F} = J\vec{\alpha} = \dot{\vec{L}}$$

Drehimpuls

$$\vec{L} = \vec{r} \times \vec{p}$$

$$= J \cdot \vec{\omega}$$

Kinetische Energie

$$E_{\text{kin}} = \frac{1}{2}J\omega^2$$

Arbeit

$$\begin{aligned}
 W &= \int_{\varphi_0}^{\varphi_1} \vec{M} \circ \vec{e}_\omega \, d\varphi \\
 &= \int_{\vec{\omega}_0}^{\vec{\omega}_1} J \vec{\omega} \, d\vec{\omega} \\
 &= \frac{1}{2} J (\omega_1^2 - \omega_0^2)
 \end{aligned}$$

7.2.3 Geneigte Ebene**Kräfte**

$$\begin{aligned}
 \vec{F}_N &= \vec{F}_G \cos \alpha \\
 \vec{F}_H &= \vec{F}_G \sin \alpha
 \end{aligned}$$

7.2.4 Reibung**Reibungskraft**

$$F_R = \mu \cdot F_N$$

7.2.5 Feder**HOOKsches Gesetz**

$$\begin{aligned}
 F &= -kx \\
 M &= D\varphi
 \end{aligned}$$

Leistung

$$P = \vec{M} \circ \vec{\omega}$$

Zentripedalkraft

$$\begin{aligned}
 F_{zp} &= -m \cdot \omega^2 \cdot r \\
 &= -m \cdot v^2 \cdot \frac{\vec{e}_r}{r}
 \end{aligned}$$

Rollreibung

$$\begin{aligned}
 M &= f \cdot F_N \\
 F_R &= \frac{f}{r} \cdot F_N
 \end{aligned}$$

Federspannarbeit

$$\begin{aligned}
 W &= \int_{x_{\min}}^{x_{\max}} F \, dx = \int_{x_{\min}}^{x_{\max}} kx \, dx \\
 &= \frac{1}{2} \cdot k \cdot (x_{\max}^2 - x_{\min}^2)
 \end{aligned}$$

7.2.6 Elastischer Stoß

Energie vor den Stoß = Energie nach den Stoß

$$\sum E_{\text{kin}} = \sum E'_{\text{kin}}$$

Impulserhaltung

Impuls vor den Stoß = Impuls nach den Stoß

$$\sum m\vec{v} = \sum m\vec{v}'$$

Zentraler, Gerader, Elastischer Stoß

$$\begin{aligned} \frac{1}{2}m_1v_1^2 + \frac{1}{2}m_2v_2^2 &= \frac{1}{2}m_1v_1'^2 + \frac{1}{2}m_2v_2'^2 \\ m_1v_1 + m_2v_2 &= m_1v_1' + m_2v_2' \end{aligned}$$

$$\begin{aligned} v_2' &= \frac{2m_1}{m_1 + m_2}v_1 + \frac{m_2 - m_1}{m_1 + m_2}v_2 \\ v_1' &= \frac{2m_2}{m_1 + m_2}v_2 + \frac{m_1 - m_2}{m_1 + m_2}v_1 \end{aligned}$$

7.2.7 Unelastischer Stoß

Energieerhaltung

Energie vor den Stoß = Energie nach den Stoß + Arbeit

$$\sum E_{\text{kin}} = \sum E'_{\text{kin}} + \Delta W$$

Impulserhaltung

Impuls vor den Stoß = Impuls nach den Stoß

$$\sum m\vec{v} = \sum m\vec{v}'$$

Total unelastischer Stoß

$$\frac{1}{2}m_1v_1^2 + \frac{1}{2}m_2v_2^2 = \frac{1}{2}(m_1 + m_2)v'^2 + \Delta W$$

$$m_1v_1 + m_2v_2 = (m_1 + m_2)v'$$

$$v' = \frac{m_1v_1 + m_2v_2}{m_1 + m_2}$$

$$\Delta W = \frac{m_1 \cdot m_2}{2(m_1 + m_2)}(v_1 - v_2)^2$$

Drehimpulserhaltungssatz

Drehimpuls zur Zeit 1 = Drehimpuls zur Zeit 2

$$\sum \vec{L} = \sum \vec{L}'$$

Kopplung zweier Rotationskörper

$$\vec{\omega}' = \frac{J_0\vec{\omega}_0 + J_1\vec{\omega}_1}{J_1 + J_2}$$

$$W = \frac{J_0 \cdot J_1}{2(J_0 + J_1)}(\omega_0 - \omega_1)^2$$

7.2.8 Rotierendes Bezugssystem**Zentrifugalkraft**

$$\vec{F}_Z = F_r \cdot \vec{e}_r = -m\vec{\omega} \times (\vec{\omega} \times \vec{r})$$

$$= -m\vec{\omega} \times \vec{v}$$

$$F_Z = -m\frac{v^2}{r} = -m\omega^2 r$$

Corioliskraft

$$\vec{F}_C = -2m\vec{\omega} \times \vec{v}$$

7.3 Schwerpunkt

mehrere Punktmassen

$$\vec{r}_{\text{Sp}} = \frac{\sum \vec{r}_i m_i}{\sum m_i}$$

Schwerpunkt in Zylinderkoordinaten

$$r_{\text{Sp}} = \frac{\int_z \int_\varphi \int_r r^2 \rho \, dr \, d\varphi \, dz}{\int_z \int_\varphi \int_r r \rho \, dr \, d\varphi \, dz}$$

$$\varphi_{\text{Sp}} = \frac{\int_z \int_\varphi \int_r \varphi r \rho \, dr \, d\varphi \, dz}{\int_z \int_\varphi \int_r r \rho \, dr \, d\varphi \, dz}$$

$$z_{\text{Sp}} = \frac{\int_z \int_\varphi \int_r z r \rho \, dr \, d\varphi \, dz}{\int_z \int_\varphi \int_r r \rho \, dr \, d\varphi \, dz}$$

$$x = r \cos \varphi \quad y = r \sin \varphi \quad z = z$$

Allgemein

$$\vec{r}_{\text{Sp}} = \frac{\int \vec{r} \, dm}{\int dm}$$

Schwerpunkt in kartesischen Koordinaten

$$x_{\text{Sp}} = \frac{\int_z \int_y \int_x x \rho \, dx \, dy \, dz}{\int_z \int_y \int_x \rho \, dx \, dy \, dz}$$

$$y_{\text{Sp}} = \frac{\int_z \int_y \int_x y \rho \, dx \, dy \, dz}{\int_z \int_y \int_x \rho \, dx \, dy \, dz}$$

$$z_{\text{Sp}} = \frac{\int_z \int_y \int_x z \rho \, dx \, dy \, dz}{\int_z \int_y \int_x \rho \, dx \, dy \, dz}$$

7.4 Trägheitsmoment

$$J = \sum m_i r_i^2$$

$$J = \int_m r^2 \, dm$$

$$J = \int_z \int_\varphi \int_r r^3 \rho \, dr \, d\varphi \, dz$$

STEINER'scher Satz

$$J_x = mr^2 + J_s$$

Traegheitsmoment Kugel

$$J_{\text{Sp}} = \frac{2}{5} mr^2$$

Traegheitsmoment Zylinder

$$J_{\text{Sp}} = \frac{1}{2} mr^2$$

**Traegheitmoment Kreisring
(Torus)**

$$J_{\text{Sp}} = mr^2$$

Traegheitsmoment Stab

$$J_{\text{Sp}} = \frac{1}{12} ml^2$$

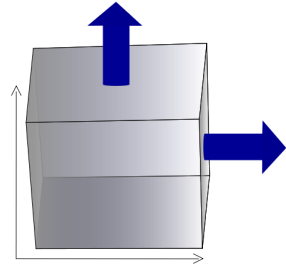
7.5 Elastizitaetslehre

Spannung

$$\vec{\sigma} = \frac{d\vec{F}_n}{dA}$$

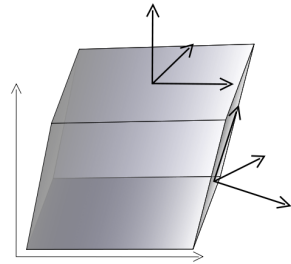
$$\sigma = E\varepsilon = E \frac{\Delta l}{l}$$

$$\vec{\tau} = \frac{d\vec{F}_t}{dA}$$



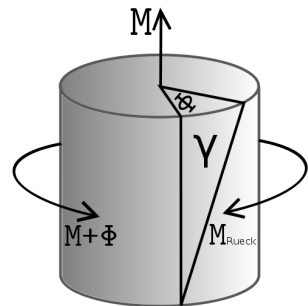
Schubmodul

$$G = \frac{\tau}{\varphi}$$



Drillung

$$\psi = \frac{d\varphi}{dl} = \frac{W_t}{G \cdot J_p} \tau = \frac{M_t}{G \cdot J_p}$$



Flaechenmoment

$$J_p = \int r^2 dA = \int_{\varphi} \int_r r^3 dr d\varphi$$

Verformungsarbeit

$$W = V \int \sigma(\varepsilon) d\varepsilon$$

7.6 Schwingungen

Harmonische Schwingungen

$$u(t) = A \cos(\omega t + \varphi_0)$$

7.6.1 Ungedämpfte Schwingungen

$$\ddot{x} = -\frac{k}{m}x$$

$$x(t) = \hat{x} \cos(\omega_0 t + \varphi_0)$$

$$\dot{x}(t) = -\hat{x}\omega \sin(\omega_0 t + \varphi_0)$$

$$\ddot{x}(t) = -\hat{x}\omega^2 \cos(\omega_0 t + \varphi_0)$$

$$\omega = \sqrt{\frac{k}{m}}$$

$$f = \frac{1}{2\pi} \sqrt{\frac{k}{m}}$$

$$T = 2\pi \sqrt{\frac{m}{k}}$$

Mathematisches Pendel

$$\ddot{\varphi} = -\frac{g}{l}\varphi$$

$$\varphi(t) = \hat{\varphi} \cos(\omega_0 t + \varphi_0)$$

$$\dot{\varphi}(t) = -\hat{\varphi}\omega \sin(\omega_0 t + \varphi_0)$$

$$\ddot{\varphi}(t) = -\hat{\varphi}\omega^2 \cos(\omega_0 t + \varphi_0)$$

$$\omega = \sqrt{\frac{g}{l}}$$

$$f = \frac{1}{2\pi} \sqrt{\frac{g}{l}}$$

$$T = 2\pi \sqrt{\frac{l}{g}}$$

Physikalisches Pendel

$$\ddot{\varphi} = -\frac{mgl}{J_A}\varphi$$

$$\varphi(t) = \hat{\varphi} \cos(\omega_0 t + \varphi_0)$$

$$\dot{\varphi}(t) = -\hat{\varphi}\omega \sin(\omega_0 t + \varphi_0)$$

$$\ddot{\varphi}(t) = -\hat{\varphi}\omega^2 \cos(\omega_0 t + \varphi_0)$$

$$\omega = \sqrt{\frac{mgl}{J_A}}$$

$$f = \frac{1}{2\pi} \sqrt{\frac{mgl}{J_A}}$$

$$T = 2\pi \sqrt{\frac{J_A}{mgl}}$$

Torsionsschwingung

$$\begin{aligned}
\ddot{\varphi} &= -\frac{D}{J_A}\varphi \\
\varphi(t) &= \hat{\varphi} \cos(\omega_0 t + \varphi_0) \\
\dot{\varphi}(t) &= -\hat{\varphi}\omega \sin(\omega_0 t + \varphi_0) \\
\ddot{\varphi}(t) &= -\hat{\varphi}\omega^2 \cos(\omega_0 t + \varphi_0) \\
\omega &= \sqrt{\frac{D}{J_A}} \\
f &= \frac{1}{2\pi} \sqrt{\frac{D}{J_A}} \\
T &= 2\pi \sqrt{\frac{J_A}{D}}
\end{aligned}$$

Flüssigkeitsspendel

$$\begin{aligned}
\ddot{y} &= -\frac{2A\rho g}{m}y \\
\varphi(t) &= \hat{y} \cos(\omega_0 t + \varphi_0) \\
\dot{\varphi}(t) &= -\hat{y}\omega \sin(\omega_0 t + \varphi_0) \\
\ddot{\varphi}(t) &= -\hat{y}\omega^2 \cos(\omega_0 t + \varphi_0) \\
\omega &= \sqrt{\frac{2A\rho g}{m}} = \sqrt{\frac{2g}{l}} \\
f &= \frac{1}{2\pi} \sqrt{\frac{2g}{l}} \\
T &= 2\pi \sqrt{\frac{l}{2g}}
\end{aligned}$$

Elektrischer Schwingkreis

$$\begin{aligned}
0 &= L\ddot{Q} + \frac{Q}{C} \\
q(t) &= \hat{Q} \cos(\omega_0 t + \varphi_0) \\
\dot{q}(t) &= -\hat{Q}\omega \sin(\omega_0 t + \varphi_0) \\
\ddot{q}(t) &= -\hat{Q}\omega^2 \cos(\omega_0 t + \varphi_0) \\
\omega &= \sqrt{\frac{1}{LC}} \\
f &= \frac{1}{2\pi} \sqrt{\frac{1}{LC}} \\
T &= 2\pi \sqrt{\frac{1}{LC}}
\end{aligned}$$

7.6.2 Gedaempfte Schwingungen**Schwingungsgleichung**

$$m\ddot{x} = -kx + F_R$$

COULOMB Reibung

$$\begin{aligned}
F_R &= -\operatorname{sgn}(\dot{x})\mu F_N \\
0 &= m\ddot{x} + kx + \operatorname{sgn}(\dot{x})\mu F_N
\end{aligned}$$

Gleitreibung

$$\begin{aligned}
 x(t) &= -(\hat{x}_0 - \hat{x}_1) \cos(\omega t) - \hat{x}_1 & 0 \leq t \leq \frac{T}{2} \\
 x(t) &= -(\hat{x}_0 - 3\hat{x}_1) \cos(\omega t) + \hat{x}_1 & \frac{T}{2} \leq t \leq T \\
 \hat{x}_1 &= \frac{\mu F_N}{k}
 \end{aligned}$$

Viskosereibung

$$\begin{aligned}
 0 &= m\ddot{x} + b\dot{x} + kx & d &= 2D \\
 x(t) &= \hat{x}e^{-\delta t}e^{\pm j\sqrt{\omega_0^2 - \delta^2}t} & Q &= \frac{1}{d} \\
 x(t) &= \hat{x}e^{-\delta t}e^{\pm j\omega_0\sqrt{1-D^2}t} \\
 \delta &= \frac{b}{2m} & x(t) &= \hat{x}e^{-\delta t} \cos(\sqrt{\omega_0^2 - \delta^2}t + \varphi) \\
 D &= \frac{\delta}{\omega_0} \\
 D &= \frac{b}{2\sqrt{mk}} \\
 \omega_0 &= \sqrt{\frac{k}{m}} \\
 \Lambda &= \ln\left(\frac{x(t)}{x(t+T)}\right) \\
 \Lambda &= \delta T \\
 \omega_D &= \sqrt{\frac{k}{m} - \left(\frac{b}{2m}\right)^2}
 \end{aligned}$$

Aperiodischer Grenzfall $\delta = \omega_0$

$$x(t) = \hat{x}e^{-\delta t}(1 - \delta t)$$

Kriechfall $\delta > \omega_0$

$$x(t) = \hat{x}e^{-\delta t}e^{\pm j\sqrt{\omega_0^2 - \delta^2}t}$$

Kapitel 8

Fluiddynamik

Premature optimization
is the root of all evil.
- D. Knuth

On the other hand,
we cannot ignore efficiency.
- Jon Bentley

8.1 Ohne Reibung

Statischer Druck

$$p = \frac{dF_N}{dA}$$

Dynamischer Druck

$$p = \frac{1}{2} \rho v^2$$

Schweredruck

$$p = \frac{\rho V g}{A} \\ = h \rho g$$

Volumenstrom

$$\dot{V} = v A \\ = \iint_A \vec{v} d\vec{A} \\ = \frac{dV}{dt} \\ = Q$$

Massenstrom

$$\dot{m} = j A \\ = \iint_A \vec{j} d\vec{A} \\ = \frac{dm}{dt}$$

Auftrieb

$$\vec{F}_A = -\rho_V \vec{g} V \\ = -\frac{\rho_V}{\rho_M} \vec{F}_G$$

Kontinuitätsgleichung

$$\dot{m}|_1 = \dot{m}|_2 \quad \dot{V}|_1 = \dot{V}|_2 \\ v_1 A_1 = v_2 A_2 \quad \rho_1 = \rho_2$$

Kompressibilität

$$\kappa = \frac{\Delta V}{\Delta p V}$$

Volumenausdehnungskoeffizient

$$\frac{\Delta V}{V} = \gamma \Delta T$$

8.2 Laminare Reibung**Newtonsches Reibungsgesetz**

$$F_R = \eta A \frac{dv}{dx}$$

Laminare Strömung (Rohr)

$$v(r) = \frac{p}{4\eta l} (R^2 - r^2)$$

$$p = \frac{4\eta l}{R^2} v(0)$$

$$\dot{V} = \frac{\pi R^4}{8\eta l} p$$

Umströmung (Kugel)

$$F_R = 6\pi\eta r v$$

Barometrische Höhenformel

$$p = p_0 e^{-Ch}$$

$$C = \frac{\rho_0 g}{p_0}$$

Bernoulli Gleichung

$$p + \frac{1}{2}\rho v^2 + \rho gh = \text{const}$$

Bernoulligleichung mit Reibung

$$p_1 + \frac{1}{2}\rho v_1^2 + \rho gh_1$$

$$= p_2 + \frac{1}{2}\rho v_2^2 + \rho gh_2 + \Delta p$$

Reynoldszahl

$$Re = \frac{L\rho v}{\eta}$$

$$Re > Re_{krit}$$

Strömung wird Turbulent

Kapitel 9

Gravitation

The year is 787!
A.D.?
- Monty Python

Gravitationskraft

$$\vec{F}_{g,2} = -G \frac{m_1 m_2}{r_{12}^2} \vec{e}_r$$
$$\vec{F}_g = \vec{E}_g \cdot m = \vec{g} m$$

Gravitationspotential

$$\phi = -G \frac{M}{r}$$
$$\vec{E}_g = \text{grad} \phi$$

Arbeit

$$W_{12} = - \int_{\vec{r}_1}^{\vec{r}_2} \vec{F}_g \circ d\vec{r}$$
$$= GmM \left(\frac{1}{r_1} - \frac{1}{r_2} \right)$$

Planetenbahnen

$$\left(\frac{a}{a_E} \right)^3 = \left(\frac{T}{T_E} \right)^2$$

Kapitel 10

Elektrostatik

Don't interrupt me
while I'm interrupting.
- Winston S. Churchill

Ladung

$$\begin{aligned}Q &= n \cdot e_0 \\&= CU \\&= \int i \, dt\end{aligned}$$

Punktladungen

$$\vec{E}(\vec{r}) = \sum_{i=1}^N \vec{E}_i \vec{r}_i$$

COULOMB Gesetz

$$\begin{aligned}\vec{F}_{12} &= \frac{1}{4\pi\epsilon} \frac{Q_1 Q_2}{r^2} \vec{r}_{12} \\&= \vec{E} Q \\ \vec{E} &= \frac{1}{4\pi\epsilon} \frac{Q}{r^2} \vec{r} \\&= -\text{grad} \varphi \\&= -\left(\frac{\partial \varphi}{\partial x} \vec{e}_x + \frac{\partial \varphi}{\partial y} \vec{e}_y + \frac{\partial \varphi}{\partial z} \vec{e}_z \right)\end{aligned}$$

Spannung

$$\begin{aligned}U_{AB} &= \frac{W_{AB}}{Q} \\&= \int_A^B \vec{E} \circ d\vec{s} \\&= \oint_s \vec{E} \circ d\vec{s} = 0 \\&= \varphi_A - \varphi_B \\&= - \int_{\infty}^A \vec{E} \circ d\vec{s} \\&\quad - \left(- \int_{\infty}^B \vec{E} \circ d\vec{s} \right)\end{aligned}$$

El- / Verschiebungsfluß

$$\psi = \int_A \vec{E} \circ d\vec{A}$$

$$\psi = \oint_A \vec{E} \circ d\vec{A} = \frac{Q}{\epsilon}$$

Flußdichte

$$\vec{D} = \frac{dQ}{dA} \vec{e}_A$$

$$\vec{D} = \epsilon \vec{E}$$

$$Q = \oint_A D dA$$

Kapazität

$$Q = CU$$

OHMsches Gesetz

$$\begin{aligned} I &= \oint_A \vec{j} \circ d\vec{A} \\ &= \oint_A \kappa \vec{E} \circ d\vec{A} \\ &= \underbrace{\kappa E \cdot 4\pi r^2}_{\text{Kugel}} \end{aligned}$$

Arbeit im elektrischem Feld

$$w = \frac{1}{2} \vec{E} \circ \vec{D}$$

$$W = \int_V w dV$$

$$= -Q \int_A^B \vec{E} \circ d\vec{s}$$

$$= \int_U Q dU$$

$$= \int_U CU dU$$

$$= \frac{1}{2} CU^2$$

Kapitel 11

Thermodynamik

11.1 Wärmedehnung

$$\rho(T) = \rho_0(1 - \beta(T - T_0))$$

$$V(T) = V_0(1 + \gamma(T - T_0))$$

$$l(T) = l_0(1 + \alpha(T - T_0))$$

$$\gamma \approx 3 \cdot \alpha$$

$$\gamma \approx \beta$$

11.2 Wärme

$$\Delta Q = c \cdot m(T - T_0)$$

$$\Delta Q = C(T - T_0)$$

$$\Delta Q = \int_{T_0}^T c \cdot m \, dT$$

$$\Delta Q = c_{mol} \cdot n(T - T_0)$$

11.3 Mischtemperatur

$$T_m = \frac{\sum_{i=1}^n T_i m_i c_i}{\sum_{i=1}^n m_i c_i}$$

\dot{Q} Ist durch einen mehrschichtiges
stationäres System Konstant

11.4 Wärmeleitung

$$\dot{Q} = \frac{dQ}{dt} = \Phi = P$$

$$\vec{q} = \frac{\dot{Q}}{A} \cdot \vec{e}_A$$

$$\vec{q} = -\lambda \operatorname{grad} T$$

$$\vec{q} = \frac{\lambda}{s} (T_A - T_B) \cdot \vec{e}_s$$

$$\dot{q} = \frac{1}{\sum_{i=1}^n \frac{s_i}{\lambda_i}} \cdot (T_A - T_B)$$

11.5 Wärmekonvektion

$$\dot{q} = \alpha (T_A - T_B)$$

$$\dot{q} = \frac{1}{\sum_{i=1}^n \frac{1}{\alpha_i}} \cdot (T_A - T_B)$$

11.6 Wärmewiderstand

$$R_{th} = \frac{T_A - T_B}{\dot{q} \cdot A} = \frac{s}{\lambda A} = \frac{1}{\alpha A} = \sum_{i=1}^n R_i$$

11.6.1 Wärmeübertragung

$$k = \frac{1}{\sum_{i=1}^n \frac{s_i}{\lambda_i} + \sum_{i=1}^n \frac{1}{\alpha_i} + \sum_{i=1}^n R_i}$$

$$\dot{q} = \frac{1}{\sum_{i=1}^n \frac{s_i}{\lambda_i} + \sum_{i=1}^n \frac{1}{\alpha_i} + \sum_{i=1}^n R_i} \cdot (T_A - T_B)$$

$$\dot{q} = k \cdot (T_A - T_B)$$

11.6.2 Wärmestrahlung

$$\alpha = \varepsilon$$

$$1 = \alpha + \tau + \vartheta$$

$$\dot{Q} = \varepsilon A \sigma T^4$$

$$\dot{Q}_{AB} = C_{AB} A_A (T_A^4 - T_B^4)$$

$$C_{AB} = \varepsilon_{AB} \sigma = \frac{\sigma}{\frac{1}{\varepsilon_A} + \frac{1}{\varepsilon_B} - 1} = \frac{1}{\frac{1}{\sigma_A} + \frac{1}{\sigma_B} - \frac{1}{\sigma}} \quad \text{Parallel}$$

$$C_{AB} = \frac{\sigma}{\frac{1}{\varepsilon_A} + \frac{A_A}{A_B} \left(\frac{1}{\varepsilon_B} - 1 \right)} \quad A_A \text{ von } A_B \text{ umschlossen}$$

$$C_{AB} \approx \varepsilon_A \sigma \quad \text{parallel } (A_A \ll A_B)$$

11.6.3 Zustandsänderung des idealen Gases

Teilchen stehen nicht in Wechselwirkung, besitzen kein Volumen und es kommt zu keinem Phasenübergang

Energie

$$U_{12} = Q_{12} + W_{12}$$

Nur Isobar:

$$dH = c_p m dT = U + p dV$$

$$dS = \frac{dQ}{T}$$

Zustandsgleichung

$$\frac{pV}{T} = \text{const}$$

$$pV = NkT = mR_s T = nRT$$

$$R_s = \frac{nR}{m}$$

$$R_s = c_p - c_v$$

Isotherm

$$pV = \text{const}$$

$$T = \text{const}$$

$$U_{12} = 0$$

$$U_{12} = Q_{12} + W_{12}$$

$$Q_{12} = -W_{12}$$

$$W_{12} = p_1 V_1 \ln \frac{V_2}{V_1}$$

$$W_{12} = p_1 V_1 \ln \frac{p_1}{p_2}$$

$$S_{12} = mc_p \ln \frac{V_2}{V_1} + mc_v \ln \frac{p_2}{p_1}$$

Isoobar

$$\frac{V}{T} = \text{const}$$

$$p = \text{const}$$

$$Q_{12} = mc_p (T_2 - T_1)$$

$$W_{12} = -p (V_2 - V_1)$$

$$U_{12} = Q_{12} + W_{12}$$

$$S_{12} = mc_p \ln \frac{V_2}{V_1}$$

Isochor

$$\frac{p}{T} = \text{const}$$

$$V = \text{const}$$

$$Q_{12} = mc_v (T_2 - T_1)$$

$$W_{12} = 0$$

$$U_{12} = Q_{12}$$

$$S_{12} = mc_v \ln \frac{p_2}{p_1}$$

Adiabat

$$pV^\kappa = \text{const}$$

$$Q = \text{const}$$

$$\kappa = \frac{c_p}{c_v}$$

$$\frac{T_2}{T_1} = \left(\frac{V_2}{V_1} \right)^{1-\kappa} = \left(\frac{p_2}{p_1} \right)^{\frac{\kappa-1}{\kappa}}$$

$$Q_{12} = 0$$

$$W_{12} = mc_v (T_2 - T_1)$$

$$W_{12} = \frac{RT_1}{\kappa - 1} \left(\left(\frac{V_2}{V_1} \right)^{1-\kappa} - 1 \right)$$

$$U_{12} = W_{12}$$

$$S_{12} = 0;$$

Kreisprozess

$$\oint dU = 0$$

$$\oint dU = \oint dQ + \oint dW$$

$$\text{Reversibel: } \oint dS = 0$$

$$\text{Irreversibel: } \oint dS > 0$$

Carnot-Prozeß

$$\eta_C = \frac{W_{ab}}{Q_{zu}}$$

$$\eta_C = \frac{Q_{zu} - Q_{AB}}{Q_{zu}}$$

$$\eta_C = \frac{T_h - T_n}{T_n}$$

Kapitel 12

Optik

The path taken between two points by a ray of light
is the path that can be traversed in the least time.
- Pierre de Fermat

12.1 Brechung

$$\frac{\sin \varepsilon_1}{\sin \varepsilon_2} = \frac{n_2}{n_1} = \frac{c_1}{c_2}$$

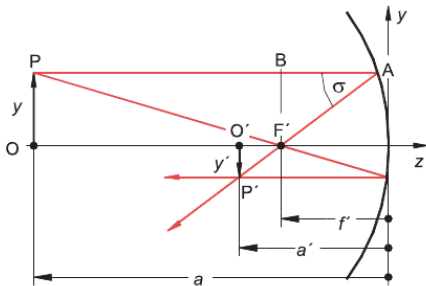
$$\varepsilon_2 = \arcsin \frac{\sin \varepsilon_1 \cdot n_1}{n_2}$$

12.2 Totalreflexion

$$\sin \varepsilon_g = \frac{n_2}{n_1}$$

Totalreflexion tritt nur auf, wenn der Lichtstrahl von einem dichteren
in ein optisch dünneren Stoff übergeht.

12.3 Hohlspiegel



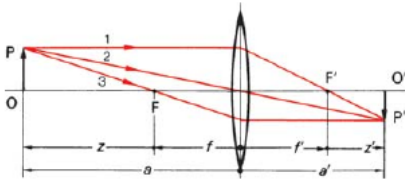
$$\frac{1}{f'} = \frac{1}{a} + \frac{1}{a'}$$

$$f' = \frac{r}{2}$$

$$\beta' = \frac{y'}{y}$$

$$\beta' = -\frac{a'}{a}$$

12.4 Linse



$$\frac{1}{f'} = \frac{1}{a'} - \frac{1}{a}$$

$$\frac{1}{f} = \frac{1}{a'} + \frac{1}{a}$$

$$f = \frac{a \cdot a'}{a + a'} = -f'$$

$$a' = \frac{a f'}{a + f'}$$

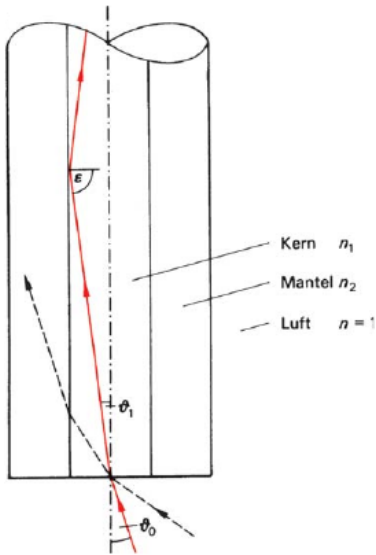
$$\beta' = \frac{f'}{a + f'}$$

$$\beta' = \frac{y'}{y}$$

$$D' = \frac{1}{f'} = (n_L - 1) \cdot \left(\frac{1}{r_1} - \frac{1}{r_2} \right)$$

Linsenform						
Bezeichnung	bi-konvex	plan-konvex	konkav-konvex	bi-konkav	plan-konkav	konvex-konkav
Radien	$r_1 > 0$ $r_2 < 0$	$r_1 = \infty$ $r_2 < 0$	$r_1 < r_2 < 0$	$r_1 < 0$ $r_2 > 0$	$r_1 = \infty$ $r_2 > 0$	$r_2 < r_1 < 0$
Brennweite im optisch dünneren Medium	$f' > 0$	$f' > 0$	$f' > 0$	$f' < 0$	$f' < 0$	$f' < 0$

12.5 Lichtwellenleiter



Totalreflexion (Grenzwinkel)

$$n_1 \sin(90^\circ - \vartheta_1) = n_2 \implies \cos \vartheta_1 = \frac{n_2}{n_1}$$

numerische Apertur

$$\begin{aligned} A_{WL} &= n_0 \sin \vartheta_0 = n_1 \sqrt{1 - \cos^2 \vartheta_1} \\ &= n_1 \sqrt{1 - \left(\frac{n_2}{n_1}\right)^2} \\ &= \sqrt{n_1^2 - n_2^2} \\ &= \sqrt{n_{Kern}^2 - n_{Mantel}^2} \end{aligned}$$

Teil III

Elektrotechnik

Kapitel 13

Gleichstromtechnik

13.1 Grundgrößen

Elementarladung

$$e \approx 1,6 \cdot 10^{-19} C$$

$$[Q] = 1C = 1As$$

$$Q = n \cdot e$$

Strom

$$[I] = 1A$$

$$i(t) = \frac{dQ}{dt}$$

Stromdichte

$$[J] = 1 \frac{A}{mm^2}$$

$$\vec{J} = \frac{I}{\vec{A}}$$

Potential

$$[\varphi] = 1V = 1 \frac{Nm}{As} = 1 \frac{kgm^2}{As^3}$$

$$\varphi = \frac{W}{Q}$$

Spannung

$$[U] = 1V$$

$$U_{AB} = \varphi_a - \varphi_b$$

Widerstand und Leitwert

$$[R] = 1\Omega = 1\frac{V}{A}$$

$$R = \frac{U}{I}$$

$$= \rho \frac{l}{A} = \frac{1}{\kappa} \frac{l}{A}$$

$$[G] = 1S = 1\frac{A}{V}$$

$$G = \frac{I}{U}$$

$$= \frac{1}{R}$$

$$= \kappa \frac{A}{l} = \frac{1}{\rho} \frac{A}{l}$$

Temperaturabhängigkeit

$$R_2 = R_1 \cdot \left(1 + \alpha (\vartheta_2 - \vartheta_1) + \beta (\vartheta_2 - \vartheta_1)^2\right)$$

Leistung

$$[P] = 1W = 1VA$$

$$P = u(t) \cdot i(t)$$

Leistung im Mittel

$$P = \frac{1}{T} \int_0^T u(t) \cdot i(t) dt$$

13.2 Lineare Quellen**Spannungsquelle**

$$U = U_q - R_i \cdot I$$

$$I_K = \frac{U_q}{R_i}$$

Stromquelle

$$I = I_q - \frac{U}{R_i}$$

$$U_l = I_q \cdot R_i$$

13.3 Kirchhoffsche Gesetze**Knotenpunktsatz**

$$\sum_{i=1}^n I_i = 0$$

Maschensatz

$$\sum_{i=1}^n U_i = 0$$

Kapitel 14

Wechselstromtechnik

No rule is so general,
which admits not some exception.
- Robert Burton

Periodische zeitabhängige Größen

Allgemein $x(t) \rightarrow$ speziell $u(t); i(t); q(t); \dots$
es gilt $x(t) = x(t + n \cdot T); (n \in \mathbb{N}^*)$

Wechselgrößen

Allgemein $x_{\sim}(t)$; periodisch sich ändernde Größe, deren Gleichanteil bzw. zeitlich linearer Mittelwert gleich Null ist.

Nachweis:

$$\int_{t_1}^{t_1+n \cdot T} x_{\sim}(t) dt = 0; (n \in \mathbb{N}^*); t_1 \text{ beliebiger Zeitwert}$$

Mischgrößen

Sind periodisch, Ihr Gleichanteil \bar{x} bzw. zeitlich linearer Mittelwert jedoch ist ungleich Null.

$$\begin{aligned} \text{Mischgröße} &= \text{Wechselgröße} + \text{Gleichanteil} \\ x(t) &= x_{\sim}(t) + \bar{x} \\ &= \text{gleichanteilbehaftete Wechselgröße} \end{aligned}$$

14.1 Anteile und Formfaktoren

Gleichanteil

$$\bar{x} = \frac{1}{n \cdot T} \cdot \int_{t_1}^{t_1+n \cdot T} x(t) dt$$

Formfaktor

$$F = \frac{x_{eff}}{|\bar{x}|} \quad x_{eff} = |\bar{x}| \cdot F$$

Gleichrichtwert

$$|\bar{x}| = \frac{1}{n \cdot T} \cdot \int_{t_1}^{t_1+n \cdot T} |x|(t) dt$$

crest - Faktor

Effektivwert

$$x_{eff} = X = \sqrt{\frac{1}{n \cdot T} \cdot \int_{t_1}^{t_1+n \cdot T} x^2(t) dt}$$

$$\sigma = \frac{\hat{x}}{x_{eff}}$$

$$n \in \mathbb{N}^* \rightarrow t_1 \text{ beliebiger Zeitwert} \rightarrow [|\bar{x}|] = [x(t)]$$

14.2 Leistung und Leistungsfaktoren

14.2.1 Wirkleistung

$$\begin{aligned} P &= \frac{1}{n \cdot T} \int_{t_1}^{t_1+n \cdot T} P(t) dt \\ &= \frac{1}{n \cdot T} \int_{t_1}^{t_1+n \cdot T} u(t) \cdot i(t) dt \end{aligned}$$

14.2.2 Mittlere Leistung

$$\bar{p}(t) = P = \frac{1}{n \cdot T} \int_{t_1}^{t_1+n \cdot T} P(t) dt$$

14.2.3 Scheinleistung

$$S = u_{eff} \cdot i_{eff} = U \cdot I$$

14.2.4 Leistungsfaktor

$$\begin{aligned} \lambda &= \frac{P}{S} \\ &= \frac{\frac{1}{n \cdot T} \int_{t_1}^{t_1+n \cdot T} p(t) dt}{u_{eff} \cdot i_{eff}} \\ &= \frac{\int_{t_1}^{t_1+n \cdot T} u(t) \cdot i(t) dt}{\sqrt{\int_{t_1}^{t_1+n \cdot T} u^2(t) dt} \cdot \sqrt{\int_{t_1}^{t_1+n \cdot T} i^2(t) dt}} \end{aligned}$$

14.3 Sinusförmige Größen

14.3.1 Sinusschwingung

$$\begin{aligned}x(t) &= \hat{x} \sin(2\pi f + \varphi_x) \\x(\omega t) &= \hat{x} \sin(\omega t + \varphi_x)\end{aligned}$$

- \hat{x} : Amplitude
- φ_x : Nullphasenwinkel
- $\varphi_x > 0$: Linksverschiebung der Kurve

14.3.2 Kosinusschwingung

$$\begin{aligned}x(t) &= \hat{x} \cos(2\pi f + \varphi_x) \\x(\omega t) &= \hat{x} \cos(\omega t + \varphi_x)\end{aligned}$$

- \hat{x} : Amplitude
- φ_x : Nullphasenwinkel
- $\varphi_x > 0$: Rechtsverschiebung der Kurve

14.3.3 Nullphasenzeit

$$t_x = -\frac{\varphi_x}{\omega} = -\varphi_x \cdot \frac{T}{2\pi}$$

14.3.4 Addition zweier Sinusgrößen gleicher Frequenz

$$\text{mit: } a = \hat{a} \sin(\omega t + \alpha) \wedge b = \hat{b} \sin(\omega t + \beta)$$

Resultierende Funktion:

$$\begin{aligned}x &= a + b \\&= \hat{a} \sin(\omega t + \alpha) + \hat{b} \sin(\omega t + \beta) \\&= \hat{x} \sin(\omega t + \varphi)\end{aligned}$$

- \hat{x} : resultierende Amplitude
- φ : Nullphasenwinkel

$$\text{Wobei: } \hat{x} = +\sqrt{\hat{a}^2 + \hat{b}^2 + 2\hat{a}\hat{b}\cos(\alpha - \beta)}$$

$$\varphi = \arctan \frac{\hat{a} \sin \alpha + \hat{b} \sin \beta}{\hat{a} \cos \alpha + \hat{b} \cos \beta}$$

Vierquadrantenarkustangens

$$\varphi = \arctan \frac{ZP}{NP}$$

2. Quadrant $ZP > 0, NP < 0$	1. Quadrant $ZP > 0, NP > 0$
3. Quadrant $ZP < 0, NP < 0$	4. Quadrant $ZP < 0, NP > 0$

Der rotierende Zeiger als rotierender Vektor

$$\begin{aligned}
\text{Allgemein gilt: } \sin(\omega t + \varphi_x) &= \frac{GK}{HT} = \frac{b}{\hat{x}} \\
\cos(\omega t + \varphi_x) &= \frac{AK}{HT} = \frac{a}{\hat{x}} \\
b &= \hat{x} \sin(\omega t + \varphi_x) \\
a &= \hat{x} \cos(\omega t + \varphi_x) \\
\text{Als Einheitsvektor: } \vec{x} &= a \cdot \vec{i} + b \cdot \vec{j}
\end{aligned}$$

Zeigerspitzenendpunkt

$$\begin{aligned}
\underline{x} &= \text{Zeigerspitzenendpunkt} \\
\underline{x} &= \underbrace{\hat{x} \cos(\omega t + \varphi_x)}_{Re \rightarrow \text{Abszisse}} + j \cdot \underbrace{\hat{x} \sin(\omega t + \varphi_x)}_{Im \rightarrow \text{Ordinate}} \\
\underline{x} &= \hat{x} \cdot e^{j(\omega t + \varphi_x)} \\
\underline{x}_{eff} &= \text{rotierender Effektivwertzeiger} \\
\underline{x}_{eff} &= \hat{x}_{eff} \cdot e^{j(\omega t + \varphi_x)}
\end{aligned}$$

14.3.5 Wechsel zwischen Sinus und Kosinus

$$\begin{aligned}
\hat{x}(t) \cos(\omega t + \varphi_x) &\equiv \hat{x}(t) \sin\left(\omega t + \varphi_x + \frac{\pi}{2}\right) \\
\hat{x}(t) \sin(\omega t + \varphi_x) &\equiv \hat{x}(t) \cos\left(\omega t + \varphi_x - \frac{\pi}{2}\right)
\end{aligned}$$

Zeitbereich		komplexer Zeitbereich
$x = \hat{x} \sin(\omega t + \varphi_x)$	$\xrightarrow{\text{Hintransformation1}}$	$\underline{x} = \hat{x} \cos(\omega t + \varphi_x) + j\hat{x} \sin(\omega t + \varphi_x)$
$x = \hat{x} \cos(\omega t + \varphi_x)$	$\xrightarrow{\text{Hintransformation2}}$	$\underline{x} = \hat{x} e^{j(\omega t + \varphi_x)}$
		Berechnungen im komplexen Bereich
$y = \text{Im}\{y\} = \hat{y} \sin(\omega t + \varphi_y)$	$\xleftarrow{\text{Ruecktransformation1}}$	$\underline{y} = \hat{y} e^{j(\omega t + \varphi_y)}$
$y = \text{Re}\{y\} = \hat{y} \cos(\omega t + \varphi_y)$	$\xleftarrow{\text{Ruecktransformation2}}$	$\underline{y} = \hat{y} \cos(\omega t + \varphi_y) + j\hat{y} \sin(\omega t + \varphi_y)$

HT1 erfordert die Ergänzung eines gleichwertigen reellen Kosinusters mit dem ursprünglichen Sinusterm als Imaginärteil

HT2 erfordert die Ergänzung eines gleichwertigen imaginären Sinusters mit dem ursprünglichen Kosinusterm als Realteil

RT1 entnahme des Imaginärteils

RT2 entnahme des Realteils

Merke: $\frac{1}{j} = -j \quad j = e^{j\frac{\pi}{2}}$

14.3.6 Differentiation und Integration von Sinusgrößen

Zeitbereich	Zeigerbereich
$x(t) = \hat{x} \sin(\omega t + \varphi_x) \xrightarrow{HT_1}$	$\underline{x} = \hat{x} e^{j(\omega t + \varphi_x)}$
$x(t) = \hat{x} \cos(\omega t + \varphi_x) \xrightarrow{HT_2}$	
$\xrightarrow{\frac{d^n x(t)}{dt^n} \xrightarrow{HT_{1/2}}}$	$\frac{d^n \underline{x}(t)}{dt^n} = (j\omega)^n \underline{x}$

Zeitbereich	Zeigerbereich
$x(t) = \hat{x} \sin(\omega t + \varphi_x) \xrightarrow{HT_1}$	$\underline{x} = \hat{x} e^{j(\omega t + \varphi_x)}$
$x(t) = \hat{x} \cos(\omega t + \varphi_x) \xrightarrow{HT_2}$	
$\xrightarrow{\int \dots \int x(t) dt^n \xrightarrow{HT_{1/2}}}$	$\int \dots \int \underline{x}(t) dt = \frac{1}{(j\omega)^n} \underline{x}$

14.3.7 R, L und C im kompl. Zeigerbereich

Ohmscher Widerstand	$\hat{U} = R \hat{I} \quad \hat{I} = \frac{\hat{U}}{R}$
Induktivität	$\hat{U} = \omega L \hat{I} \quad \hat{I} = \frac{\hat{U}}{\omega L}$
Kapazität	$\hat{U} = \frac{\hat{I}}{\omega C} \quad \hat{I} = \omega C \hat{U}$

14.3.8 Widerstands und Leitwertoperator

\underline{Z} komplexer Widerstand / Impedanz	\underline{Y} komplexer Leitwert / Admitanz
$\underline{Z} = \frac{\underline{u}}{\underline{i}} = \frac{\hat{U}}{\hat{I}} \cdot e^{j(\varphi_u - \varphi_i)}$	$\underline{Y} = \frac{1}{\underline{Z}} = \frac{\hat{I}}{\hat{U}} \cdot e^{j(\varphi_i - \varphi_u)}$
$ \underline{Z} = Z = \frac{\hat{U}}{\hat{I}} = \frac{U}{I}$	$ \underline{Y} = Y = \frac{1}{Z} = \frac{I}{U}$
mit $\varphi_u - \varphi_i = \varphi_Z$	mit $\varphi_i - \varphi_u = -\varphi_Z = \gamma_Y$

Widerstand

$$\underline{Z} = R \wedge \underline{Y} = 1/R$$

Kapazität

$$\underline{Z} = \frac{1}{j\omega C} = \frac{1}{\omega C} e^{-j\frac{\pi}{2}} \wedge \underline{Y} = j\omega C = \omega C e^{j\frac{\pi}{2}}$$

Induktivität

$$\underline{Z} = j\omega L = \omega L e^{j\frac{\pi}{2}} \wedge \underline{Y} = \frac{1}{j\omega L} = \frac{1}{\omega L} e^{-j\frac{\pi}{2}}$$

14.3.9 Resultierende Operatoren

Reihenschaltung

$$\underline{Z}_{ges} = \sum_{i=1}^n \underline{Z}_i$$

Parallelschaltung

$$\underline{Y}_{ges} = \sum_{i=1}^n \underline{Y}_i$$

Spannungsteiler

$$\frac{u_1}{u_2} = \frac{\underline{Z}_1 + \underline{Z}_2}{\underline{Z}_2}$$

Stromteiler

$$\frac{i_1}{i_2} = \frac{\underline{Y}_1}{\underline{Y}_2}$$

14.3.10 Anteile am komplexen Widerstand (Impedanz)

$$\underline{Z} = \operatorname{Re}\{\underline{Z}\} + j \cdot \operatorname{Im}\{\underline{Z}\} = R + jX = |\underline{Z}| \cdot e^{j\varphi}$$

mit $\varphi = \varphi_u - \varphi_i$ Phasenwinkel; R = Wirkwiderstand;

X = Blindwiderstand; $|\underline{Z}|$ = Scheinwiderstand

$$R = R \quad L = \frac{X}{\omega} \text{ mit } X > 0 \quad C = -\frac{1}{\omega X} \text{ mit } X < 0$$

14.3.11 Anteile am komplexen Leiwert (Admitanz)

$$\underline{Y} = \operatorname{Re}\{\underline{Y}\} + j \cdot \operatorname{Im}\{\underline{Y}\} = G + jB = |\underline{Y}| \cdot e^{j\gamma}$$

mit $\gamma = \varphi_i - \varphi_u$ Phasenwinkel; G = Wirkleitwert;

B = Blindleitwert; $|\underline{Y}|$ = Scheinleitwert

$$R = \frac{1}{G} \quad C = \frac{B}{\omega} \text{ mit } B > 0 \quad L = -\frac{1}{\omega B} \text{ mit } B < 0$$

14.3.12 komplexer Widerstand / komplexer Leitwert

$$\begin{aligned} \underline{Y} = G + jB &= \frac{1}{\underline{Z}} = \frac{1}{Z} \cdot e^{-j\varphi} \\ &= \frac{1}{\sqrt{R^2 + X^2}} \cdot e^{-j \arctan \frac{X}{R}} \\ &= \frac{1}{R + jX} = \frac{R - jX}{R^2 + X^2} = \underbrace{\frac{R}{R^2 + X^2}}_G - j \underbrace{\frac{X}{R^2 + X^2}}_B \end{aligned}$$

$$\begin{aligned}
 \underline{Z} = R + jX &= \frac{1}{\underline{Y}} = \frac{1}{Y} \cdot e^{-j\gamma} \\
 &= \frac{1}{\sqrt{G^2 + B^2}} \cdot e^{-j \arctan \frac{B}{G}} \\
 &= \frac{1}{G + jB} = \frac{G - jB}{G^2 + B^2} = \underbrace{\frac{G}{G^2 + B^2}}_R - j \underbrace{\frac{B}{G^2 + B^2}}_X
 \end{aligned}$$

14.3.13 Momentanleistung / Augenblicksleistung

$$\begin{aligned}
 P(t) &= \underbrace{UI \cos \varphi}_{\text{zeitlich konstant}} - \underbrace{UI \cos(2\omega t + \varphi_u + \varphi_i)}_{\text{mit doppelter Frequenz schwingend}} \\
 &= UI \cos \varphi - UI \cos(2\omega t + 2\varphi_u - \varphi)
 \end{aligned}$$

$$\text{mit } \varphi = \varphi_u - \varphi_i \rightarrow \varphi_i = \varphi_u - \varphi$$

14.3.14 Blindleistung

Ermittlung des Blindleistungsanteils aus der Momentanleistung

$$\begin{aligned}
 P(t) &= \underbrace{UI \cos \varphi}_{\text{Wirkleistung}} - \underbrace{UI \sin \varphi \cdot \sin(2\omega t + 2\varphi_u)}_{\text{Blindleistung}} \\
 P_{ges}(t) &= P_{wirk}(t) + P_{blind}(t)
 \end{aligned}$$

$$u(t) \cdot i(t) \begin{cases} > 0 \text{ Energie zum Verbraucher} \\ < 0 \text{ Energie zum Erzeuger} \end{cases}$$

14.3.15 Mittlere Leistung / Wirkleistung

$$P = \bar{P}(t) = \frac{1}{n \cdot T} \int_{t_1}^{t_1 + n \cdot T} u(t) \cdot i(t) dt = UI \cos \varphi$$

14.3.16 Definition von Blind- und Scheinleistung

$$Q = UI \sin \varphi \quad [Q] = \text{var} \quad \text{mit} \begin{cases} Q > 0 \text{ induktive Blindleistung } Q_{ind} \\ Q < 0 \text{ kapazitive Blindleistung } Q_{kap} \end{cases}$$

$$S = u_{eff} \cdot i_{eff} = U \cdot I \quad [S] = VA$$

14.3.17 Beziehungen zwischen Wirk- Blind- und Scheinleistung

$$P = UI \cdot \cos \varphi \quad Q = UI \cdot \sin \varphi \quad S = UI$$

$$\tan \varphi = \frac{Q}{P} = \frac{\sin \varphi}{\cos \varphi}$$

Leistungsfaktor

$$\lambda = \frac{P}{S} = \cos \varphi$$

$$\begin{aligned} P &= \sqrt{S^2 - Q^2} \\ &= S \cdot \cos \varphi \\ &= \frac{Q}{\tan \varphi} \end{aligned}$$

$$Q = \begin{cases} > 0 \rightarrow Q_{ind} = \sqrt{S^2 - P^2} \\ < 0 \rightarrow Q_{kap} = -\sqrt{S^2 - P^2} \end{cases}$$

$$\begin{aligned} S &= \sqrt{P^2 + Q^2} \\ &= \frac{Q}{\sin \varphi} \\ &= \frac{P}{\cos \varphi} \end{aligned}$$

$$Q = S \cdot \sin \varphi = P \cdot \tan \varphi$$

$$\begin{aligned} \varphi &= \arctan \frac{Q}{P} \\ &= \arcsin \frac{Q}{S} \\ &= \arccos \frac{P}{S} \end{aligned}$$

$$P^2 + Q^2 = U^2 \cdot I^2 = S^2$$

14.3.18 Die komplexe Leistung

$$\underline{S} = \underline{U} \cdot \underline{I}^*$$

* - konjugiert Komplex

$$= U \cdot I \cdot e^{j(\varphi_u - \varphi_i)}$$

$$= S \cdot e^{j\varphi}$$

$$= \underbrace{S \cdot \cos \varphi}_P + j \cdot \underbrace{S \cdot \sin \varphi}_Q$$

$$= P + jQ$$

$$[\underline{S}] = VA \quad [P] = W \quad [Q] = var$$

Zusammenhang mit dem komplexen Leitwert / Widerstand

$$\underline{S} = I^2 \cdot \underline{Z} \quad P = I^2 \cdot R = U^2 \cdot G \quad Q = I^2 \cdot X = -U^2 \cdot B$$

Kapitel 15

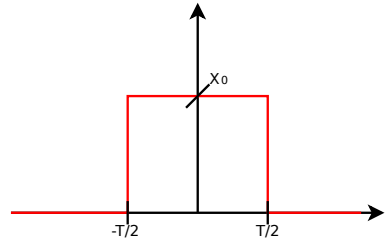
Signal- und Systemtheorie

15.1 Einfache Impulse

15.1.1 Rechteckimpuls/-funktion $rect_T(t)$

$$x(t) = X_0 \cdot rect_T(t)$$

- T: Rechteckimpulsbreite > 0
- an den Sprungstellen nimmt der Impuls die Hälfte des max. Wertes an

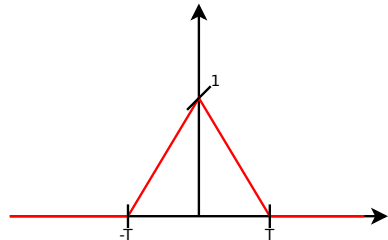


15.1.2 Dreiecksimpuls/-funktion $\Lambda_T(t)$

$$x(t) = X_0 \cdot \Lambda_T(t)$$

$$\Lambda_T(t) = \begin{cases} 1 - |t/T| & \text{für } |t| < T \\ 0 & \text{für } |t| > T \end{cases}$$

- T: Dauer einer ansteigenden / abfallenden Flanke

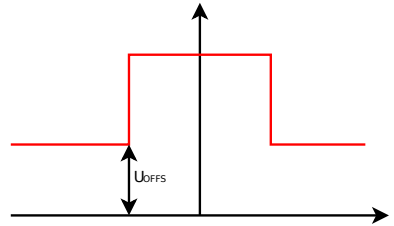


15.2 Elementare Operationen auf zeitliche Verläufe

15.2.1 Beeinflußung der Ordinate

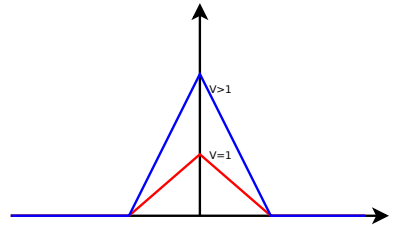
Signaloffset X_{OFFS}

$$x_{neu}(t) = x_{alt}(t) + X_{OFFS}$$



Skalierungsfaktor V ($V \neq 0$)

$$x_{neu}(t) = V \cdot x_{alt}(t)$$

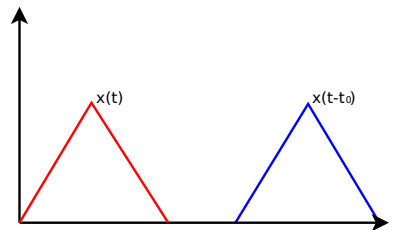


15.2.2 Beeinflußung der Abszisse

zeitliche Verschiebung t_0

$$x_{neu}(t) = x_{alt}(t - t_0) \text{ mit } t_0 = \text{const.}$$

- Zusammenfassung der Offsetbehafteten Zeit $t - t_0$ zu einer neuen Zeitbasis $\tau = t - t_0$
- $x_{neu}(\tau + t_0) = x_{alt}(\tau)$
 $t > 0$ Verschiebung nach rechts
 $t < 0$ Verschiebung nach links



Negation des Arguments t

$$x_{neu}(t) = x_{alt}(-t) \text{ mit } \tau = -t$$

$$x_{neu}(-\tau) = x_{alt}(\tau)$$

- gleiche Funktionswerte mit negierter Zeitbasis, somit Spiegelung an der Ordinate

